

ПРАВИТЕЛЬСТВО РОССИЙСКОЙ ФЕДЕРАЦИИ  
ФЕДЕРАЛЬНОЕ ГОСУДАРСТВЕННОЕ БЮДЖЕТНОЕ ОБРАЗОВАТЕЛЬНОЕ  
УЧРЕЖДЕНИЕ ВЫСШЕГО ОБРАЗОВАНИЯ  
«САНКТ-ПЕТЕРБУРГСКИЙ ГОСУДАРСТВЕННЫЙ УНИВЕРСИТЕТ»  
(СПбГУ)

УДК 577.25



ОТЧЁТ  
О НАУЧНО-ИССЛЕДОВАТЕЛЬСКОЙ РАБОТЕ  
по договору от 01.12.2022 № 9112-2022

«Поиск химических соединений, обладающих агонистическими и антагонистическими  
свойствами к рецепторам следовых аминов, исследования их фармакодинамики и  
механизма действия»

(итоговый)

Руководитель НИР,  
Рук. ЛНМФ, директор ИТБМ СПбГУ, к.м.н.

Р.Р. Гайнетдинов

Санкт-Петербург  
2024

## СПИСОК ИСПОЛНИТЕЛЕЙ

Руководитель НИР:

Рук. ЛНМФ, директор  
ИТБМ СПбГУ, к.м.н.

*P.Z*

подпись

Р.Р. Гайнетдинов

(разделы 1 – 3)

Исполнители:

В.н.с., к.б.н.

*E.V.K*

подпись

Е.В. Канов  
(раздел 2.2)

Н.с., к.б.н.

*A.B.*

подпись

Р.З. Муртазина  
(раздел 2.2)

В.н.с., к.б.н.

*Е.В.*

подпись

Е.В. Ефимова  
(разделы 2.3)

Н.с., к.б.н.

*A.V.L*

подпись

А.В. Лопачев  
(разделы 2.3)

## **РЕФЕРАТ**

Отчет: 78 страницы, 38 рисунков, 7 таблиц, 29 процитированных публикаций.

**Ключевые слова:** Фармакология; Нейробиология; Трансляционная биомедицина; Шизофрения; Болезнь Паркинсона; Депрессия; Наркомания; Диабет; Ожирение; Трансгенные модели животных; Следовые амины; GPCR рецепторы; Моноамины

Разработка новых лекарственных средств, воздействующих на TAAR1 и другие рецепторы, ассоциированные со следовыми аминами (семейство TAARs). Зарегистрированных аналогов в мировой клинической практике нет. Только две международные компании, F. Hoffmann La-Roche (Switzerland) и Sunovion (USA), в данный момент проводят клинические испытания TAAR1 агонистов для лечения пациентов с шизофренией и другими нейропсихиатрическими заболеваниями. Ожидается, что разработка новых TAAR1 агонистов и оценка остальных TAARs в качестве эффективных мишеней для фармакологического воздействия приведёт к появлению в клинике принципиально новых подходов терапии ряда социально-значимых заболеваний.

В рамках данной научно-исследовательской работы были получены следующие результаты:

- 1) Были проработаны и опробованы новые методы синтеза соединений, обладающих общим молекулярным ядром, для оценки биологической активности против рецептора TAAR1 *in vitro* методами.
- 2) В рамках скрининга *in vitro* в модели BRET было выявлено 4 кандидата для исследований на животных моделях. Однако, ввиду данных, полученных с альтернативной модели NanoBiT было принято решение выбрать 1 кандидата из новых соединений и оценить активность соединений AP163 и DS16 на животных моделях при пероральном введении.
- 3) Дополнительные исследования с LK00764 показали низкий уровень биодоступности молекулы при пероральном введении в трех солюбилизаторах на химической модели гиперактивности грызунов, вызванной MK-801, а также на модели трансгенных крыс, лишенных рецептора обратного забора дофамина DAT.
- 4) Оценка новых отобранных соединений *in vivo* показала антипсихотическую активность при внутрибрюшинном введении, при этом DS16 показал активность при исследованиях при интрагастральном введении.

## СОДЕРЖАНИЕ

<u>СПИСОК ИСПОЛНИТЕЛЕЙ</u> .....	2
<u>РЕФЕРАТ</u> .....	3
<u>СОДЕРЖАНИЕ</u> .....	4
<u>ОПРЕДЕЛЕНИЯ, ОБОЗНАЧЕНИЯ И СОКРАЩЕНИЯ</u> .....	6
<u>СПИСОК РИСУНКОВ</u> .....	7
<u>СПИСОК ТАБЛИЦ</u> .....	11
<u>1 ВВЕДЕНИЕ</u> .....	12
<u>2 ОСНОВНАЯ ЧАСТЬ ОТЧЕТА О НИР</u> .....	15
2.1 Синтез библиотеки химических соединений – потенциальных агонистов TAAR1 16	
2.1.1 Обоснование исследования .....	16
2.1.2 Синтез соединений – схемы синтеза .....	17
2.1.3 Заключение .....	31
2.2 <i>IN VITRO</i> ТЕСТИРОВАНИЕ АКТИВНОСТИ ПОТЕНЦИАЛЬНЫХ АГОНИСТОВ TAAR1 .....	32
2.2.1 Проверка способности к активации человеческого рецептора следовых аминов 1-го типа (нTAAR1) методом BRET .....	32
2.2.1.1 Обоснование исследования .....	32
2.2.1.2 Материалы и методы исследования .....	32
2.2.1.3 Результаты.....	33
2.2.1.4 Заключение и выводы .....	40
2.2.2 Проверка способности к активации человеческого рецептора следовых аминов 1-го типа (нTAAR1) методом NANOBiT .....	40
2.2.2.1 Обоснование исследования .....	40
2.2.2.2 Материалы и методы исследования .....	41
2.2.2.3 Результаты.....	42
2.2.2.4 Заключение .....	45
2.3 Исследование активности LK00764 в физиологических тестах <i>IN VIVO</i> .....	46
2.3.1 Острое интрагастральное введение LK00764 для оценки его действия на модели двигательной гиперактивности у крыс, нокаутных по гену DAT .....	46
2.3.1.1 Обоснование исследования .....	46
2.3.1.2 Материалы и методы исследования .....	46
Животные .....	46
Вещества .....	47
Экспериментальные процедуры.....	47
Дизайн исследования .....	47
Экспериментальная установка .....	47
Регистрируемые показатели поведения .....	47
Экспериментальная процедура .....	48
Статистический анализ .....	48

2.3.1.3 Результаты.....	48
2.3.1.4 Выводы .....	49
2.3.2 ОСТРОЕ ИНТРАГАСТРАЛЬНОЕ ВВЕДЕНИЕ LK00764 для ОЦЕНКИ ЕГО ДЕЙСТВИЯ НА КРЫС, НАХОДЯЩИХСЯ ПОД ДЕЙСТВИЕМ ИНГИБИТОРА РЕЦЕПТОРОВ NMDA - МК-801 .....	50
2.3.2.1 Обоснование исследования .....	50
2.3.2.2 Материалы и методы исследования .....	50
ЖИВОТНЫЕ .....	50
ВЕЩЕСТВА .....	50
ЭКСПЕРИМЕНТАЛЬНЫЕ ПРОЦЕДУРЫ.....	51
Дизайн исследования .....	51
Экспериментальная установка .....	51
2.3.2.3 Результаты.....	52
2.3.2.4 Выводы .....	53
<b>2.4 Исследование активности новых выявленных агонистов TAAR1 в физиологических тестах <i>in vivo</i> .....</b>	<b>54</b>
2.4.1 ОСТРОЕ ВНУТРИБРЮШИННОЕ ВВЕДЕНИЕ LK1932A, AP163 и DS16 для ОЦЕНКИ ИХ ДЕЙСТВИЯ НА МОДЕЛИ ДВИГАТЕЛЬНОЙ ГИПЕРАКТИВНОСТИ У КРЫС, НОКАУТНЫХ ПО ГЕНУ DAT	
54	
2.4.1.1 Обоснование исследования .....	54
2.4.1.2 Материалы и методы исследования .....	54
2.4.1.3 Результаты.....	56
2.4.1.4 Выводы .....	64
2.4.2 ОСТРОЕ ИНТРАГАСТРАЛЬНОЕ ВВЕДЕНИЕ AP163 и DS16 для ОЦЕНКИ ЕГО ДЕЙСТВИЯ НА МОДЕЛИ ДВИГАТЕЛЬНОЙ ГИПЕРАКТИВНОСТИ, ВЫЗВАННОЙ DAT-ИНГИБИТОРОМ GBR-12909 ..	65
65	
2.4.2.1 Обоснование исследования .....	65
2.4.2.2 Материалы и методы исследования .....	65
ЖИВОТНЫЕ .....	65
ВЕЩЕСТВА .....	65
ЭКСПЕРИМЕНТАЛЬНЫЕ ПРОЦЕДУРЫ.....	66
Дизайн исследований .....	66
Экспериментальная установка .....	66
Регистрируемые показатели поведения .....	67
СТАТИСТИЧЕСКИЙ АНАЛИЗ .....	67
2.4.2.3 Результаты.....	67
2.4.2.4 Выводы .....	72
<b>3 ЗАКЛЮЧЕНИЕ.....</b>	<b>73</b>
<b>4 СПИСОК ИСПОЛЬЗОВАННЫХ ИСТОЧНИКОВ.....</b>	<b>74</b>
<b>5 ПРИЛОЖЕНИЯ .....</b>	<b>77</b>
<b>5.1 ПРИЛОЖЕНИЕ 1 .....</b>	<b>77</b>

## ОПРЕДЕЛЕНИЯ, ОБОЗНАЧЕНИЯ И СОКРАЩЕНИЯ

В настоящем отчете о НИР применяют следующие определения, обозначения и сокращения с соответствующими определениями:

ВОЗ	– Всемирная организация здравоохранения
ДНК	– Дезоксирибонуклеиновая кислота
НИР	– Научно-исследовательская работа
РФ	– Российская Федерация
СДВГ	– Синдром дефицита внимания и гиперактивности
СПбГУ	– Санкт-Петербургский государственный университет
США	– Соединенные Штаты Америки
ЦАМФ	– Циклический аденоzinмонофосфат
ЦНС	– Центральная нервная система
ATCC	– Американская коллекция типовых культур (American Type Culture Collection)
BRET	– Резонансный перенос энергии биолюминесценции
DA (ДА)	– Дофамин
DAT	– Транспортер обратного захвата дофамина
DAT-KO	– Трансгенные животные, нокаутные по гену транспортера обратного захвата дофамина
EC <sub>50</sub>	– Полумаксимальная эффективная концентрация
EPAC	– Exchange protein activated by cAMP
GPCR	– Рецепторы, сопряженные с G-белками (G protein-coupled receptors)
hTAAR1	– Человеческий TAAR5
IC <sub>50</sub>	– Концентрация полумаксимального ингибирования
Rluc	– Люцифераза кораллового полипа <i>R. reniformis</i>
RLU	– Относительные единицы люминесценции (Relative luminescence units)
TA	– Следовые амины (Trace amines)
TAAR	– Рецепторы следовых аминов (Trace Amine-Associated Receptors)
TAAR1-KO	– Линии мышей, лишенные рецепторов TAAR1
YFP	– Жёлтый флуоресцентный белок

## СПИСОК РИСУНКОВ

<b>Рисунок №</b>	<b>Название рисунка</b>	<b>Страница</b>
<b>1</b>	<i>Структура ранее открытого агониста TAAR1 (1)</i>	16
<b>2</b>	<b>Схема 1.</b> Реагенты и условия: i. $K_2CO_3$ , ДМФА, 120 °C., 12 ч; ii. 15% водн. р-р $NaOH$ , $MeOH$ , 50 °C., 4 ч. iii. $R_1R_2NH$ , НВТУ, $Et_3N$ , ДМФА, комн. т, 12 ч; iv. 4M $HCl$ , 1,4-диоксан.	17
<b>3</b>	<b>Схема 2.</b> Реагенты и условия: i. $K_2CO_3$ , ДМФА, 120 °C., 12 ч; ii. $H_2$ , 10% Pd-C, 1 атм, комн.т., 4 ч iii. $RCOOH$ , НВТУ, $Et_3N$ , ДМФА, комн. т, 12 ч; iv. 4M $HCl$ , 1,4-диоксан	18
<b>4</b>	<b>Схема 3.</b> Реагенты и условия: i. $EtO_2CCH_2P(O)(OEt)_2$ , $NaH$ , ТГФ, 0 °C → комн.т.; ii. $MeOCH_2N(Bn)CH_2SiMe_3$ , $LiF$ , $MeCN$ , 60 °C, 18 ч.	19
<b>5</b>	<b>Схема 4.</b> Реагенты и условия: i. $LiOH \cdot H_2O$ , 1,4-диоксан, комн.т., 12 ч; ii. амидоксим, $HOBt$ , $EDC \cdot HCl$ , комн.т., 12 ч; iii. $TBAF$ , толуол, кипячение с насадкой Дина Старка, 6 ч; iv. $H_2$ , 10% Pd-C, 100 атм, комн.т., 12 ч; v. $MsCl$ , $Et_3N$ , $CH_2Cl_2$ , 0°C → комн.т., 18 ч. vi. $CF_3COOH$ , $CH_2Cl_2$ , 0 °C → комн.т., 1 ч; vii. $H_2$ , 10% Pd-C, 100 атм, комн.т., 12 ч. viii. $MsCl$ , $Et_3N$ , $CH_2Cl_2$ , 0°C → комн.т., 18 ч.	19
<b>6</b>	<b>Схема 5.</b> Реагенты и условия: i. $LiOH \cdot H_2O$ , 1,4-диоксан, комн.т., 12 ч; ii. амидоксим, $HOBt$ , $EDC \cdot HCl$ , комн.т., 12 ч; iii. $TBAF$ , толуол, кипячение с насадкой Дина Старка, 6 ч; iv. $CF_3COOH$ , $CH_2Cl_2$ , 0 °C → комн.т., 1 ч; iv. $MsCl$ , $Et_3N$ , $CH_2Cl_2$ , 0°C → комн.т., 18 ч.	20
<b>7</b>	<b>Схема 6.</b> Реагенты и условия: i. $LiOH \cdot H_2O$ , 1,4-диоксан, комн.т., 12 ч; ii. $RNHR'$ , $HOBt$ , $EDC \cdot HCl$ , комн.т., 12 ч; iii. $H_2$ , 10% Pd-C, 100 атм, комн.т., 12 ч; iv. $R_2NH_2$ , КДИ, ДМФА, комн.т. v. $MsCl$ , $Et_3N$ , $CH_2Cl_2$ , 0°C vi. $LiAlH_4$ , ТГФ 0°C → комн.т	20
<b>8</b>	<b>Схема 7.</b> Реагенты и условия: i. $LiOH \cdot H_2O$ , водн. 1,4-диоксан, комн.т., 12 ч; ii. $RNHR'$ , $HOBt$ , $EDC \cdot HCl$ , комн.т., 12 ч; iii. $CF_3COOH$ , $CH_2Cl_2$ , 0 °C → комн.т., 1 ч; iv. $LiAlH_4$ , ТГФ, -70°C → 5°C; v. $(CH_3)_2NH$ , $NaBH(OAc)_3$ , $CH_2Cl_2$ , комн.т., 18 ч.; vi. $H_2$ , 10% Pd-C, 100 атм, комн.т., vii. $RCOOH$ , КДИ, ДМФА, комн.т., 4 ч.	21
<b>9</b>	<b>Схема 8.</b> Реагенты и условия: i. $H_2$ , 10% Pd-C, 100 атм, комн.т., 12 ч; ii. альдегид, $CH_2Cl_2$ , $NaBH(OAc)_3$ , комн.т., 18 ч; iii. $LiOH \cdot H_2O$ , водн. 1,4-диоксан, комн.т., 12 ч; iv. пропаргиламин, $HOBt$ , $EDC \cdot HCl$ , комн.т., 12 ч; v. $BnNH_2$ , $Zn(OTf)_2$ (0.25 мол.%), толуол, кипячение с насадкой Дина Старка, 8 ч; vi. $Zn(OTf)_2$ (0.25 мол.%), толуол, кипячение с насадкой Дина Старка, 16 ч; vii. $CF_3COOH$ , $CH_2Cl_2$ , 0 °C → комн.т., 1 ч.	23
<b>10</b>	<b>Схема 9.</b> Реагенты и условия: i. 64% водн. $N_2H_4$ , этанол, кипячение, 8 ч; ii. $MeNCS$ , этанол, кипячение, 2 ч; iii. Ni Ренея, этанол, кипячение, 12 ч; iv. $H_2$ , 10% Pd-C, 100 атм, комн.т., 12 ч; v. $RCOOH$ , КДИ, ДМФА, комн.т., 4 ч.. vi. $CF_3COOH$ , $CH_2Cl_2$ , 0	24

Рисунок №	Название рисунка	Страница
	$^{\circ}\text{C} \rightarrow \text{комн.т.}, 1 \text{ ч}; \text{v. vi. } \text{H}_2, 10\% \text{ Pd-C}, 100 \text{ атм, комн.т., 12 ч; vii. } \text{RCl, Et}_3\text{N, CH}_2\text{Cl}_2, 0^{\circ}\text{C} \rightarrow \text{комн.т., 18 ч.}$	
11	<b>Схема 10.</b> Реагенты и условия: i. ацетамидин (циклогексанамидин) $\text{HCl}$ , $\text{MeONa}$ , $\text{MeOH}$ , комн.т., 18 ч; ii. $170^{\circ}\text{C}$ в токе аргона; iii. $\text{CF}_3\text{COOH}$ , $\text{CH}_2\text{Cl}_2$ , $0^{\circ}\text{C} \rightarrow \text{комн.т., 1 ч. iv. H}_2, 10\% \text{ Pd-C}, 100 \text{ атм, комн.т., 12 ч; v. 37\% водн. формальдегид, CH}_2\text{Cl}_2, \text{NaBH(OAc)}_3$ , комн.т., 18 ч.	26
12	<b>Схема 11.</b> Реагенты и условия: i. пара-хлорфенилбороновая кислота, $\text{K}_2\text{CO}_3$ , $\text{H}_2\text{O}$ , диоксан, $\text{Pd(PPh}_3)_4$ , $90^{\circ}\text{C}, 4 \text{ ч}; \text{ii. NH}_2\text{OH, EtOH, т.кип. 5 ч; iii. КДИ, ДМСО, 30 мин., затем 49, 12 ч., затем NaOH, 30 мин.}$	28
13	<b>Схема 12.</b> Реагенты и условия: i. аминоэтанол, толуол, $\text{H}_2\text{O}$ , диоксан, т.кип, 5 ч; ii. $\text{NaBH}_4$ , $\text{EtOH}$ , $0^{\circ}\text{C} \rightarrow \text{комн.т., 30 мин.; iii. } \text{Boc}_2\text{O, EtOAc, 18 ч, комн.т.; iv. DIAD, PPh}_3, \text{TГФ, 18 ч.}$	29
14	<b>Схема 13.</b> Реагенты и условия: i. $\text{BuLi, TГФ, -70 }^{\circ}\text{C, 30 мин, затем ДМФА; ii. NHR}_1\text{R}_2, \text{NaBH(OAc)}_3, \text{CH}_2\text{Cl}_2$ , комн.т., 24; iii. $4\text{M HCl/диоксан, комн. т., 8 ч}$	29
15	<b>Схема 14.</b> Реагенты и условия: i. $\text{RB(OH)}_2, \text{K}_2\text{CO}_3, \text{H}_2\text{O}$ , диоксан, $\text{Pd(PPh}_3)_4$ , $90^{\circ}\text{C, 4 ч; ii. 4M HCl/диоксан, комн. т., 8 ч}$	30
16	<b>Схема 15.</b> Реагенты и условия: i. $\text{BuLi, TГФ, -70 }^{\circ}\text{C, 30 мин, затем CO}_2$ ; ii. КДИ, $\text{NH}_2\text{-R}_2, \text{CH}_2\text{Cl}_2$ , комн.т., 2 ч; iii. $4\text{M HCl/диоксан, комн. т., 8 ч}$	30
17	Кривые “концентрация-эффект” для веществ, показавших наибольший эффект, и тирамина гидрохлорида.	39
18	Кривые “концентрация-эффект” для положительных контролей: тирамина гидрохлорида и фенилэтиламина.	40
19	Схема репортерной системы <i>NanoBiT</i> , используемая в данной работе.	41
20	Проверка специфичности ответа в системе <i>NanoBiT</i> на тирамин ( $100 \text{ мкМ}$ ) - агонист <i>TAAR1</i> .	42
21	Кривые доза-эффект для известных агонистов <i>TAAR1</i> .	42
22	Кривые доза-эффект для агонистов <i>TAAR1</i> , разработанных в нашей лаборатории.	43

<b>Рисунок №</b>	<b>Название рисунка</b>	<b>Страница</b>
23	<i>Результат скрининга серии LK.</i>	43
24	<i>Данные доза-эффект веществ серии LK.</i>	45
25	<i>Базальная горизонтальная двигательная активность и влияние введения LK00764 (40; 80 и 160 мг/кг) или 10% раствора Tween 80 в дистиллированной воде на горизонтальную двигательную активность WT (А,В) и DAT-KO (Б,Г) крыс.</i>	49
26	<i>Уровень двигательной активности крыс, находящихся под действием MK-801 (0,1 мг/кг, в/б), после введения различных вариантов растворов LK00764 160 мг/кг, н/о.</i>	52
27	<i>Сравнение локомоторной активности в течение 90 мин групп: контроль (N=12), GBR12909 (N=16), AP163-15 (N=3), AP163-30 (N=3), AP163-45 (N=3), AP163-15+GBR (N=8), AP163-30+GBR (N=3), AP163-45+GBR (N=6).</i>	57
28	<i>Сравнение локомоторной активности в течение 10-минутных интервалов 90 мин тесте групп: контроль (N=12), GBR12909 (N=16), AP163-15 (N=3), AP163-15+GBR (N=8).</i>	58
29	<i>Сравнение локомоторной активности в течение 10-минутных интервалов 90 мин тесте групп: контроль (N=12), GBR12909 (N=16), AP163-45 (N=3), AP163-45+GBR (N=6).</i>	58
30	<i>Сравнение локомоторной активности в течение 90 мин групп: контроль (N=12), GBR12909 (N=16), DS16-30 (N=6), DS16-30+GBR (N=9).</i>	59
31	<i>Сравнение локомоторной активности в течение 10-минутных интервалов 90 мин тесте групп: контроль (N=12), GBR12909 (N=16), DS16-30 (N=6), DS16-30+GBR (N=9).</i>	60
32	<i>Сравнение локомоторной активности в течение 90 мин групп: контроль (N=12), GBR12909 (N=16), LK1932-15 (N=4), LK1932-30 (N=4), LK1932-15+GBR (N=3), LK1932-15+GBR (N=3), LK1932-30+GBR (N=6).</i>	61
33	<i>Сравнение локомоторной активности в течение 10-минутных интервалов 90 мин тесте групп: контроль (N=12), GBR12909 (N=16), LK1932-15 (N=4), LK1932-15+GBR (N=3).</i>	62
34	<i>Сравнение локомоторной активности в течение 10-минутных интервалов 90 мин тесте групп: контроль (N=12), GBR12909 (N=16), LK1932-30 (N=4), LK1932-30+GBR (N=6).</i>	63
35	<i>Различие между температурой тела мышей до эксперимента и через 100 мин после введений 10 мг/кг GBR12909 и 30 мг/кг DS16. Сравнение групп: контроль (N=9), GBR12909 (N=11), DS16-30 (N=4), DS16-30+GBR (N=9).</i>	64

<b>Рисунок №</b>	<b>Название рисунка</b>	<b>Страница</b>
<b>36</b>	<i>Действие GBR12909 10 мг/кг внутрибрюшно на горизонтальную двигательную активность мышей.</i>	68
<b>37</b>	<i>Действие DS16 100 мг/кг перорально на горизонтальную двигательную активность мышей.</i>	70
<b>38</b>	<i>Действие AP163 100 мг/кг перорально на горизонтальную двигательную активность мышей.</i>	71

## СПИСОК ТАБЛИЦ

Таблица №	Название таблицы	Страница
1	<i>Данные оценки активности новых соединений</i>	33
2	<i>Результат скрининга серии LK</i>	44
3	<i>Оценка EC50 у наиболее активных соединений</i>	44
4	<i>Вещества</i>	51
5	<i>Группы крыс</i>	51
6	<i>Распределение животных по группам</i>	55
7	<i>Дизайн исследования</i>	66

## 1 ВВЕДЕНИЕ

Открытие в 2001 году нового класса моноаминергических рецепторов, сопряженных с G белками (G protein-coupled receptors, GPCRs) – рецепторов, ассоциированных со следовыми аминами (Trace Amine-Associated Receptors, TAARs, 6 функциональных рецепторов идентифицированы у человека, TAAR1, TAAR2, TAAR5, TAAR6, TAAR8 и TAAR9) открыла возможность изучения функциональной роли эндогенных Следовых Аминов (Trace amines, TA) в физиологии и патологии млекопитающих (Liberles S.D., Buck L.B., 2006; Borowsky B. et al. 2001). Следовые амины, такие как  $\beta$ -фенилэтиламин, тирамин, триптамин и октопамин, структурно близки к классическим моноаминам и играют важную роль в физиологии беспозвоночных, но их функции в организме млекопитающих, где они представлены в «следовых» количествах, остаются малоизученными (Betty M.D., 2004). Определение роли этих аминов и их рецепторов в физиологии млекопитающих могло бы объяснить многие загадки патологии и фармакологии моноаминергической передачи. В целом, ТА присутствуют в ЦНС и функционируют параллельно с моноаминергическими путями. ТА структурно связаны, ко-локализуются и высвобождаются вместе с биогенными аминами (Gainetdinov R.R., et al, 2018). Считается, что ТА обладают нейромодуляторными функциями классических нейротрансмиттеров, таких как дофамин, серотонин и норадреналин, на уровень которых влияют все использующиеся в клинической практике антидепрессанты и антипсихотические препараты. Нарушения в физиологии ТА уже длительное время ассоциируются с шизофренией и депрессией (Wolf M.E., Mosnaim A.D., 1983). Изменённые уровни следовых аминов были обнаружены также у пациентов, страдающих синдромом дефицита внимания и гиперактивности (СДВГ), болезнью Паркинсона и некоторыми другими заболеваниями мозга (Gainetdinov R.R., et al, 2018). Таким образом, считается, что идентификация новых лигандов TAAR рецепторов может привести к разработке принципиально новых лекарственных средств.

Наиболее изученным рецептором среди TAARs является TAAR1, который уже является доказанной мишенью для фармакологии широкого спектра психиатрических, неврологических и метаболических расстройств и агонисты TAAR1 уже находятся на стадии клинических испытаний компаниями F. Hoffmann La-Roche, Switzerland (нозология: нейропсихиатрические заболевания) и Sunovion, USA (нозология: шизофрения) (Koblan K.S. et al., 2020). Использование селективных агонистов TAAR1 и линии мышей, лишенных TAAR1 (TAAR1-KO мыши) в исследованиях показали, что TAAR1 агонисты могут быть эффективными при лечении психических и ряда других заболеваний мозга, таких как шизофрения, депрессия, СДВГ, наркомании, болезни Паркинсона, нарушения сна, причем

действуя как непосредственно, так и косвенно, путем модуляции других моноаминергических систем (Leo D. et al., 2014).

Психоневрологические расстройства остаются одной из главных проблем современного здравоохранения. По статистическим данным распространенность этой группы заболеваний в течение жизни у людей составляет около 30% (по данным некоторых исследований в развитых странах эта цифра доходит почти до 50%), то есть каждый третий человек в мире находится в группе риска. Среди детей и подростков частота встречаемости психических расстройств составляет 12,0 – 14,2%. По оценкам ВОЗ психоневрологические расстройства - одна из ведущих причин инвалидности в мире, уступая только сердечно-сосудистым и онкологическим заболеваниям. За 2009 году мировые затраты, связанные с лечением и уходом за больными с этими заболеваниями, оценивают в 2,5 триллиона долларов США, и, ожидают, что к 2030 году они составят уже 6 триллионов долларов. Таким образом, психоневрологические заболевания – важная социальная проблема, требующая адекватного решения. В настоящее время ведущим подходом к лечению подобных заболеваний остается фармакотерапия. Однако современные фармакологические подходы к терапии психоневрологических расстройств недостаточно эффективны и вызывают у пациентов тяжёлые побочные эффекты. Поэтому поиск новых мишней для фармакотерапии этих заболеваний - актуальная и важная проблема современной психофармакологии. Одной из таких мишней могут быть открытые в 2001 году TAAR рецепторы к следовым аминам. Моноаминергическая система мозга оказалась «золотым рудником» в психофармакологии для самых продаваемых лекарств, которые были разработаны для лечения таких заболеваний мозга, как шизофрения, депрессия, биполярные расстройства, тревожные состояния, СДВГ, и другие (Caron M.G., Gainetdinov R.R., 2006). TAAR1 являлся предметом детальных исследований в последнее десятилетие, и накопленная доклиническая информация показывает потенциальную эффективность агонистов этого рецептора при ряде психоневрологических расстройств, таких как шизофрения и депрессия, а также при диабете и ожирении. Наличие оригинальных TAAR1 агонистов позволяет приступить к непосредственной разработке таких лекарственных средств. Рецепторы TAAR2, TAAR5, TAAR6, TAAR8 и TAAR9 представляют абсолютно новые и в настоящее время не изученные мишени для модулирования функции мозга и других систем. Оценка механизмов такой модуляции, понимание функциональной роли TAAR, а также идентификация TAAR-селективных соединений в комбинации с исследованиями на соответствующих моделях животных представляют собой эффективный подход для определения потенциальной терапевтической ценности этих

новых мишеней. Эти исследования могут привести к разработке принципиально новых фармацевтических препаратов для лечения болезней человека.

## **2 ОСНОВНАЯ ЧАСТЬ ОТЧЕТА О НИР**

Лабораторией нейробиологии и молекулярной фармакологии Института трансляционной биомедицины СПбГУ в 2022-2024 гг. были проведены исследования в рамках НИР по теме «Поиск химических соединений, обладающих агонистическими и антагонистическими свойствами к TAAR рецепторам следовых аминов, исследования их фармакодинамики и механизма действия». Основанием для проведения работ является договор №9112-2022 от 01.12.2022. Получен ряд результатов по следующим направлениям:

- 1) Синтез библиотеки химических соединений – потенциальных агонистов TAAR1.
- 2) *In vitro* тестирование активности потенциальных агонистов TAAR.
  - a) Проверка способности к активации человеческого рецептора следовых аминов 1-го типа (hTAAR1) в тест-системе BRET.
  - b) Проверка способности к активации человеческого рецептора следовых аминов 1-го типа (hTAAR1) в тест-системе NanoBiT.
- 3) Исследование активности LK00764 в физиологических тестах *in vivo*.
  - a) Острое введение LK00764 для оценки его действия на модели двигательной гиперактивности, вызванной DAT-ингибитором GBR-12909.
  - b) Острое интрагастральное введение LK00764 для оценки его действия на модели двигательной гиперактивности у крыс, нокаутных по гену DAT.
  - c) Острое и хроническое введение LK00764 для оценки его действия на поведение в тестах «Открытое поле», «Приподнятый крестообразный лабиринт» и «Тест вынужденного плавания».
  - d) Сравнение гипотермического эффекта LK00764 на мышей дикого типа и TAAR1-нокаутов.

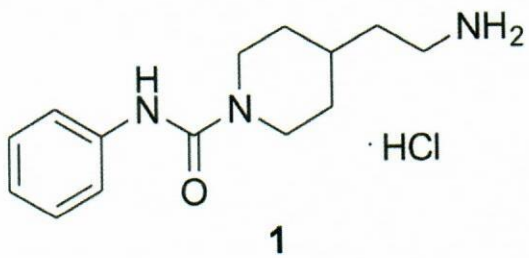
Все экспериментальные вмешательства проводилась в соответствии с «Правилами проведения работы с использованием экспериментальных животных» № 755 от 12.08.1977, «Правилами лабораторной практики в Российской Федерации», утвержденными приказом Министерства здравоохранения РФ № 267 от 19.06.2003 и в соответствии с международными нормами по проведению медико-биологических исследований с использованием животных.

## 2.1 Синтез библиотеки химических соединений – потенциальных агонистов TAAR1

## 2.1.1 Обоснование исследования

В то время как TAAR1 становится горячей мишенью в психофармакологии, известно относительно небольшое количество сильнодействующих и селективных лигандов TAAR1. В большинстве доклинических исследований агонистов TAAR1 участвовали производные имидазола (например, RO5073012) (Galley G. et al. 2012) или 2-аминооксазолина (например, RO5166017) (Galley G. et al. 2016). Агонисты TAAR1 других химических классов, такие как производные бигуанидов (Guariento S. et al., 2018) и 2-(2-аминоэтил)триазолы (Krasavin M. et al., 2022), исследовались только в исследованиях активности *in silico* и *in vitro*.

Ранее нами был обнаружен субмикромолярный агонист TAAR1 (1 или 4-(2-аминоэтил)-N-фенилпиперидин-1-карбоксамид дигидрохлорид), который демонстрировал дозозависимую активацию рецептора и был основан на 4-(2-аминоэтил)пипердиновом ядре, ранее не связанное с модуляцией TAAR1 в литературе (Рисунок 1). Соединение уже имело довольно многообещающий уровень эффективности ( $EC_{50} = 0,507 \mu M$ ) со 100% агонизмом в отношении TAAR1 по сравнению с  $1 \mu M$   $\beta$ -фенилэтиламина, используемого в качестве положительного контроля. Кроме того, в данной структуре отсутствовали какие-либо стереоцентры, что рассматривалось как преимущество, так как хиральность может быть введена позже, на этапе оптимизации для увеличения аффинности к рецептору. Тем не менее, на данный момент не удается повысить биодоступность данной молекулы при пероральном введении. Было принято решение провести работы по разработке новых методов синтеза соединений на основе базового ядра молекулы, а также провести оптимизацию данной молекулы (эта часть работы отражена в отчете «Современные подходы к синтезу соединений с фрагментом 1,2,4-триазола» А. Лукин, Москва 2024).



**Рисунок 1 – Структура ранее открытого агониста TAAR1**

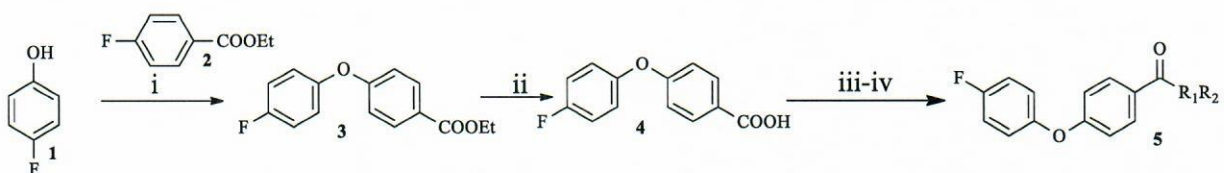
## **Цель исследования**

## Синтез новой библиотеки химических соединений – потенциальных лигандов к человеческому рецептору следовых аминов 1 типа

## Задача исследования

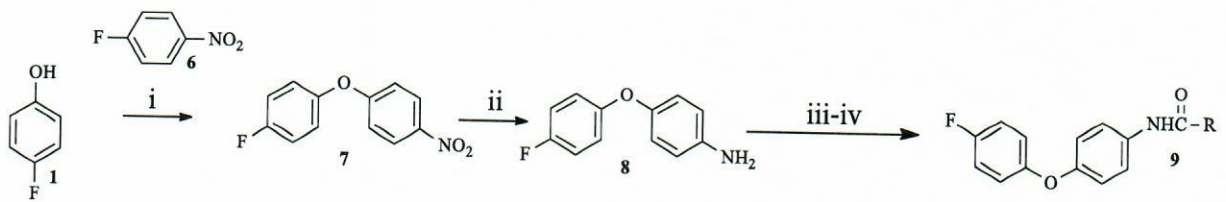
- 1) Разработать схему синтеза новых химических соединений на основании ядерной структуры замещенных 2-(5-арил-4Н-1,2,4-триазол-3-ил)этанаминов, (азациклоалкил)метокси-замещенных бензамидов и замещенных 2,3,4,5-тетрагидробензо[*f*][1,4]оксазепинов
- 2) Синтезировать вещества из новой библиотеки в количестве, достаточном для проведения *in vitro* тестирования активности по отношению к человеческому TAAR1 с использованием технологии BRET и NanoBiT.

### 2.1.2 Синтез соединений – схемы синтеза



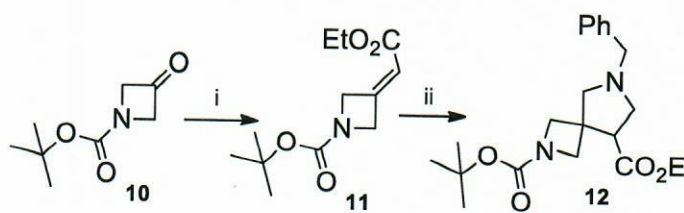
**Рисунок 2 - Схема 1. Реагенты и условия:** i. 2,  $\text{K}_2\text{CO}_3$ , ДМФА, 120 °C., 12 ч; ii. 15% водн. p-p NaOH, MeOH, 50 °C., 4 ч. iii.  $\text{R}_1\text{R}_2\text{NH}$ , HBTU,  $\text{Et}_3\text{N}$ , ДМФА, комн. т., 12 ч; iv. 4M HCl, 1,4-диоксан

LK01757	LK01758	LK01759	LK01760	LK01761
LK01762	LK01763	LK01764	LK01765	LK01766
LK01767	LK01768	LK01769	LK01770	

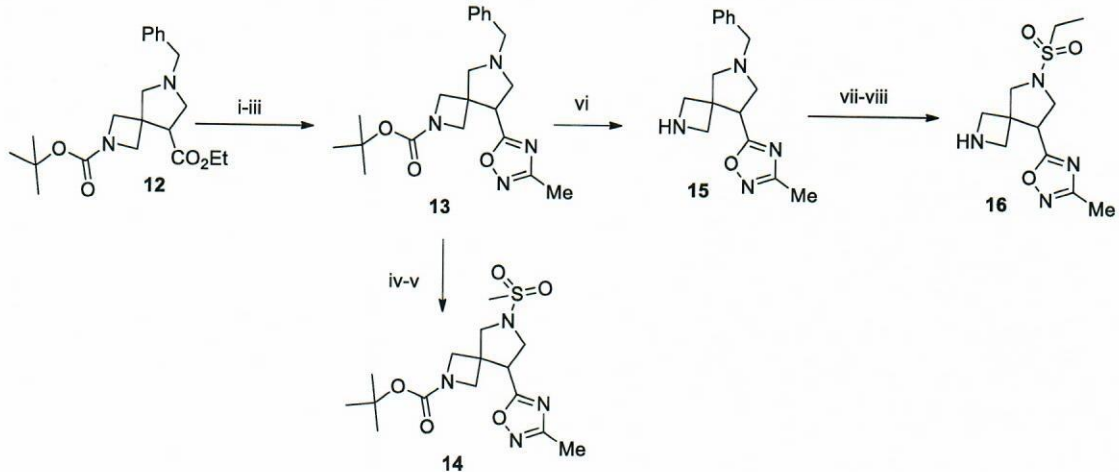


**Рисунок 3 - Схема 2.** Реагенты и условия: i. 6,  $K_2CO_3$ , ДМФА, 120 °С., 12 ч; ii.  $H_2$ , 10% Pd-C, 1 атм, комн.т., 4 ч iii.  $RCOOH$ , НВТУ,  $Et_3N$ , ДМФА, комн. т, 12 ч; iv. 4M  $HCl$ , 1,4-диоксан

LK1813	LK1823	LK1820	LK1828	LK01771
LK1812	LK1814	LK1815	LK1816	LK1817
LK1818	LK1821	LK1822	LK1824	LK1825
LK1826	LK1827	LK1829		

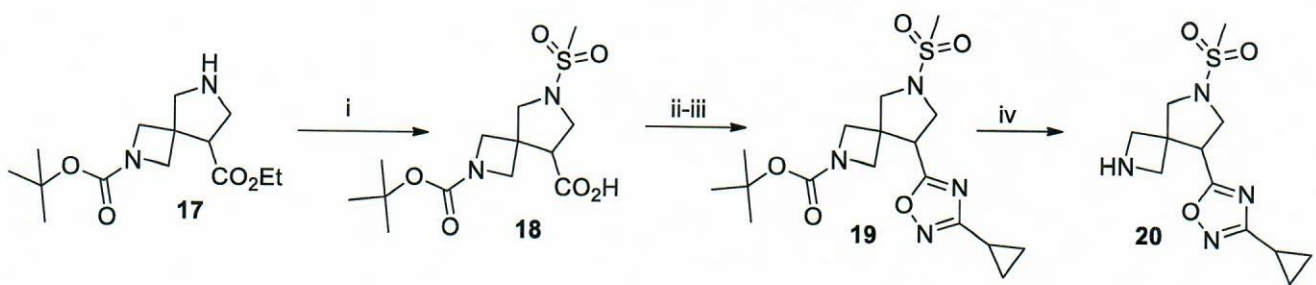


**Рисунок 4 - Схема 3.** Реагенты и условия: i. EtO<sub>2</sub>CCH<sub>2</sub>P(O)(OEt)<sub>2</sub>, NaH, ТГФ, 0 °C→ комн.т.; ii. MeOCH<sub>2</sub>N(Bn)CH<sub>2</sub>SiMe<sub>3</sub>, LiF, MeCN, 60 °C, 18 ч.

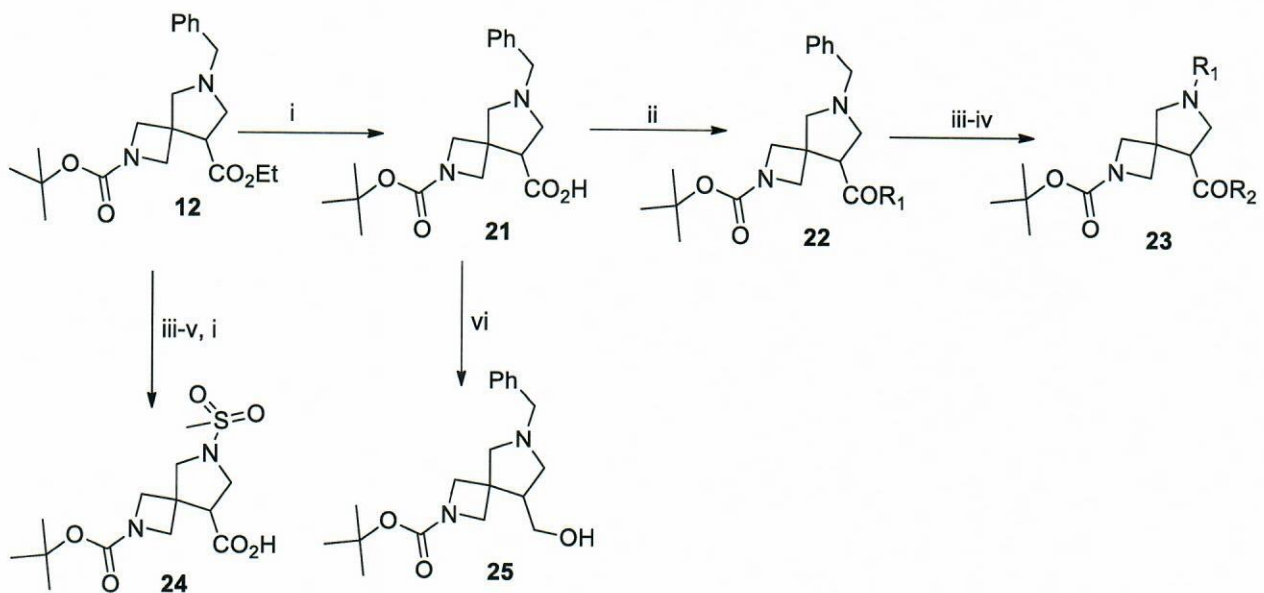
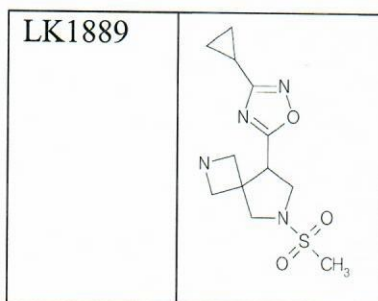


**Рисунок 5 - Схема 4.** Реагенты и условия: i. LiOH·H<sub>2</sub>O, 1,4-диоксан, комн.т., 12 ч; ii. амидоксим, HOBr, EDC·HCl, комн.т., 12 ч; iii. TBAF, толуол, кипячение с насадкой Дина Старка, 6 ч; iv. H<sub>2</sub>, 10% Pd-C, 100 атм, комн.т., 12 ч; v. MsCl, Et<sub>3</sub>N, CH<sub>2</sub>Cl<sub>2</sub>, 0°C→комн.т., 18 ч. vi. CF<sub>3</sub>COOH, CH<sub>2</sub>Cl<sub>2</sub>, 0 °C→ комн.т., 1 ч; vii. H<sub>2</sub>, 10% Pd-C, 100 атм, комн.т., 12 ч. viii. MsCl, Et<sub>3</sub>N, CH<sub>2</sub>Cl<sub>2</sub>, 0°C→комн.т., 18 ч.

LK1952	
LK 1936	
LK 1878	

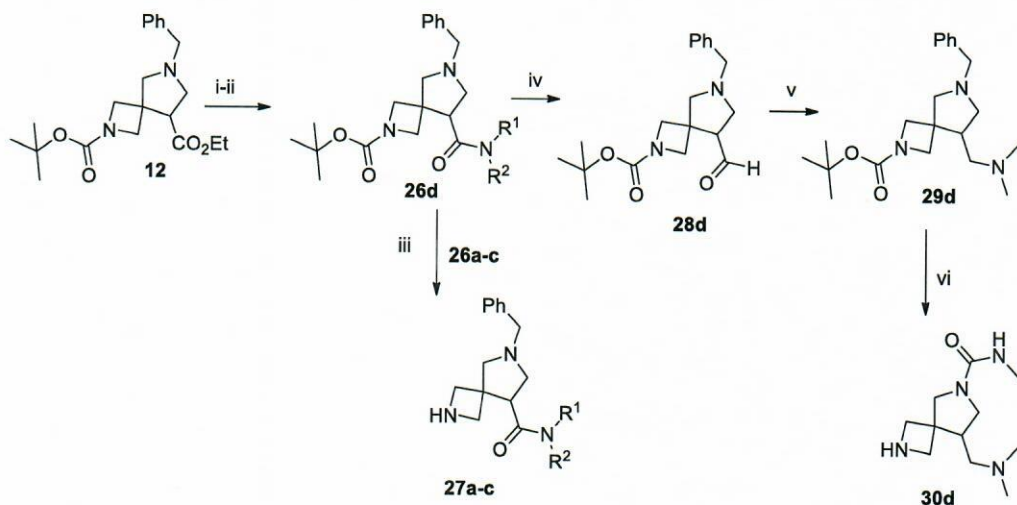


**Рисунок 6 - Схема 5.** Реагенты и условия: i.  $\text{LiOH}\cdot\text{H}_2\text{O}$ , 1,4-диоксан, комн.т., 12 ч; ii. амидоксим,  $\text{HOBT}$ ,  $\text{EDC}\cdot\text{HCl}$ , комн.т., 12 ч; iii.  $\text{TBAF}$ , толуол, кипячение с насадкой Дина Старка, 6 ч; iv.  $\text{CF}_3\text{COOH}$ ,  $\text{CH}_2\text{Cl}_2$ ,  $0\text{ }^\circ\text{C} \rightarrow$  комн.т., 1 ч; v.  $\text{MsCl}$ ,  $\text{Et}_3\text{N}$ ,  $\text{CH}_2\text{Cl}_2$ ,  $0\text{ }^\circ\text{C} \rightarrow$  комн.т., 18 ч.

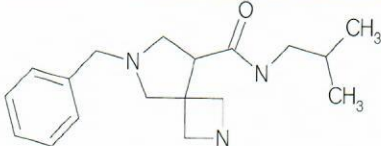
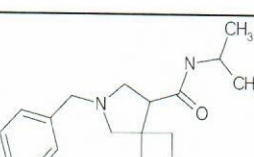
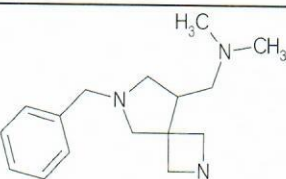
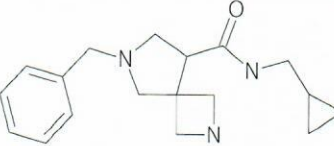
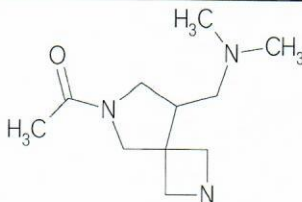
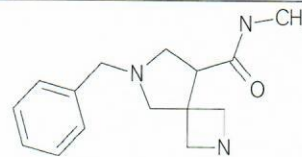
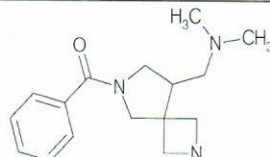


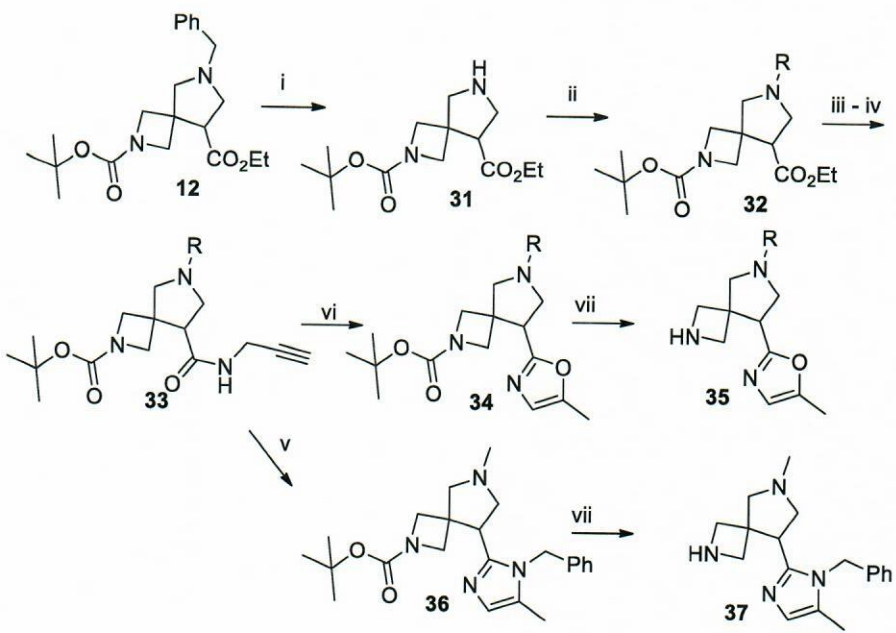
**Рисунок 7 - Схема 6.** Реагенты и условия: i.  $\text{LiOH}\cdot\text{H}_2\text{O}$ , 1,4-диоксан, комн.т., 12 ч; ii.  $\text{RNHR}'$ ,  $\text{HOBT}$ ,  $\text{EDC}\cdot\text{HCl}$ , комн.т., 12 ч; iii.  $\text{H}_2$ , 10%  $\text{Pd-C}$ , 100 атм, комн.т., 12 ч; iv.  $\text{R}_2\text{NH}_2$ , КДИ, ДМФА, комн.т. v.  $\text{MsCl}$ ,  $\text{Et}_3\text{N}$ ,  $\text{CH}_2\text{Cl}_2$ ,  $0\text{ }^\circ\text{C}$ ; vi.  $\text{LiAlH}_4$ , ТГФ  $0\text{ }^\circ\text{C} \rightarrow$  комн.т.

LK1873	
LK1877	
LK1879	
LK1895	



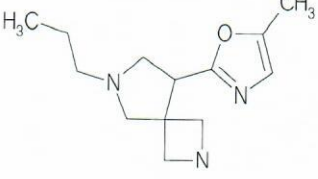
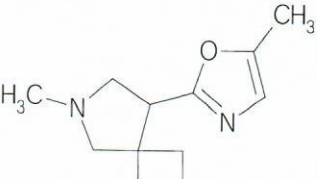
**Рисунок 8 - Схема 7.** Реагенты и условия: i. LiOH·H<sub>2</sub>O, водн. 1,4-диоксан, комн.т., 12 ч; ii. RNHR', HOBr, EDC·HCl, комн.т., 12 ч; iii. CF<sub>3</sub>COOH, CH<sub>2</sub>Cl<sub>2</sub>, 0 °C → комн.т., 1 ч; iv. LiAlH<sub>4</sub>, ТГФ, -70°C → -5°C; v. (CH<sub>3</sub>)<sub>2</sub>NH, NaBH(OAc)<sub>3</sub>, CH<sub>2</sub>Cl<sub>2</sub>, комн.т., 18 ч.; vi. H<sub>2</sub>, 10% Pd-C, 100 атм, комн.т., vii. RCOOH, КДИ, ДМФА, комн.т., 4 ч.

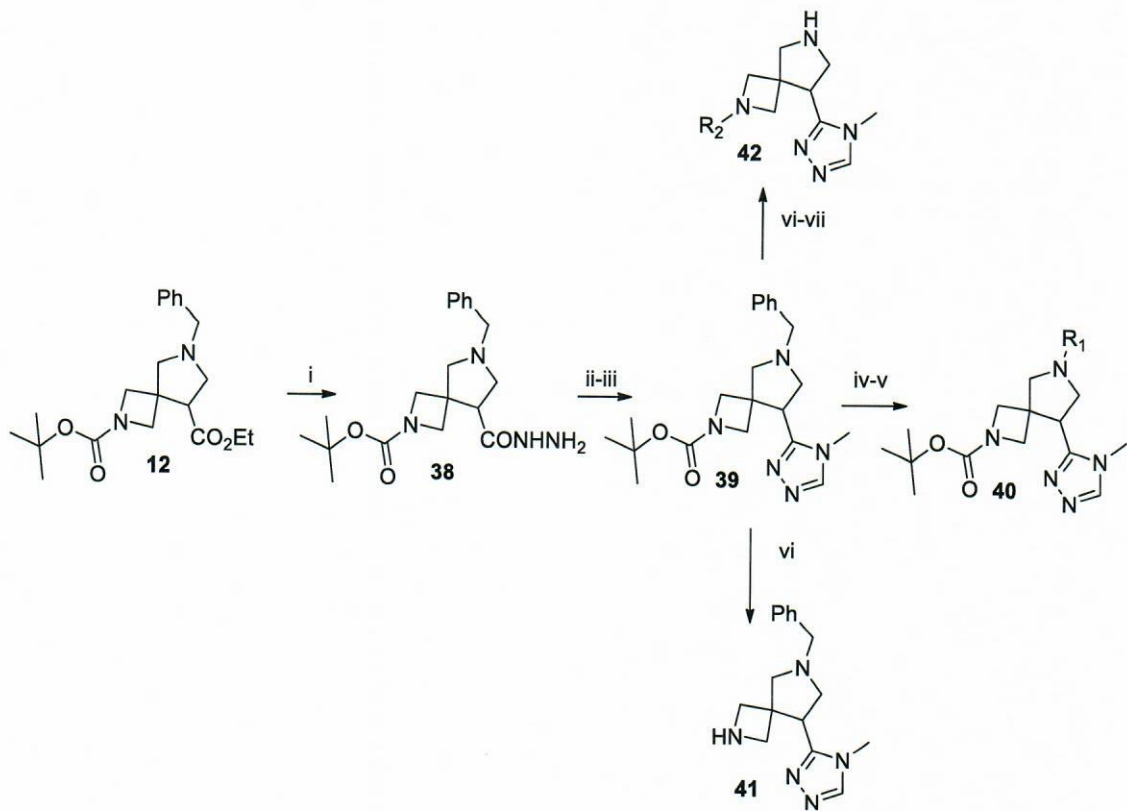
LK1943	
LK1943	
LK1931	
LK1919	
LK1951	
LK1957	
LK1959	



**Рисунок 9 - Схема 8.** Реагенты и условия: i.  $\text{H}_2$ , 10% Pd-C, 100 атм, комн.т., 12 ч; ii. альдегид,  $\text{CH}_2\text{Cl}_2$ ,  $\text{NaBH}(\text{OAc})_3$ , комн.т., 18 ч; iii.  $\text{LiOH}\cdot\text{H}_2\text{O}$ , водн. 1,4-диоксан, комн.т., 12 ч; iv. пропаргиламин, HOBt, EDC·HCl, комн.т., 12 ч; v.  $\text{BnNH}_2$ ,  $\text{Zn}(\text{OTf})_2$  (0.25 мол.%), толуол, кипячение с насадкой Дина Старка, 8 ч; vi.  $\text{Zn}(\text{OTf})_2$  (0.25 мол.%), толуол, кипячение с насадкой Дина Старка, 16 ч; vii.  $\text{CF}_3\text{COOH}$ ,  $\text{CH}_2\text{Cl}_2$ , 0 °C→комн.т., 1 ч.

LK1962	
LK1964	
LK1965	

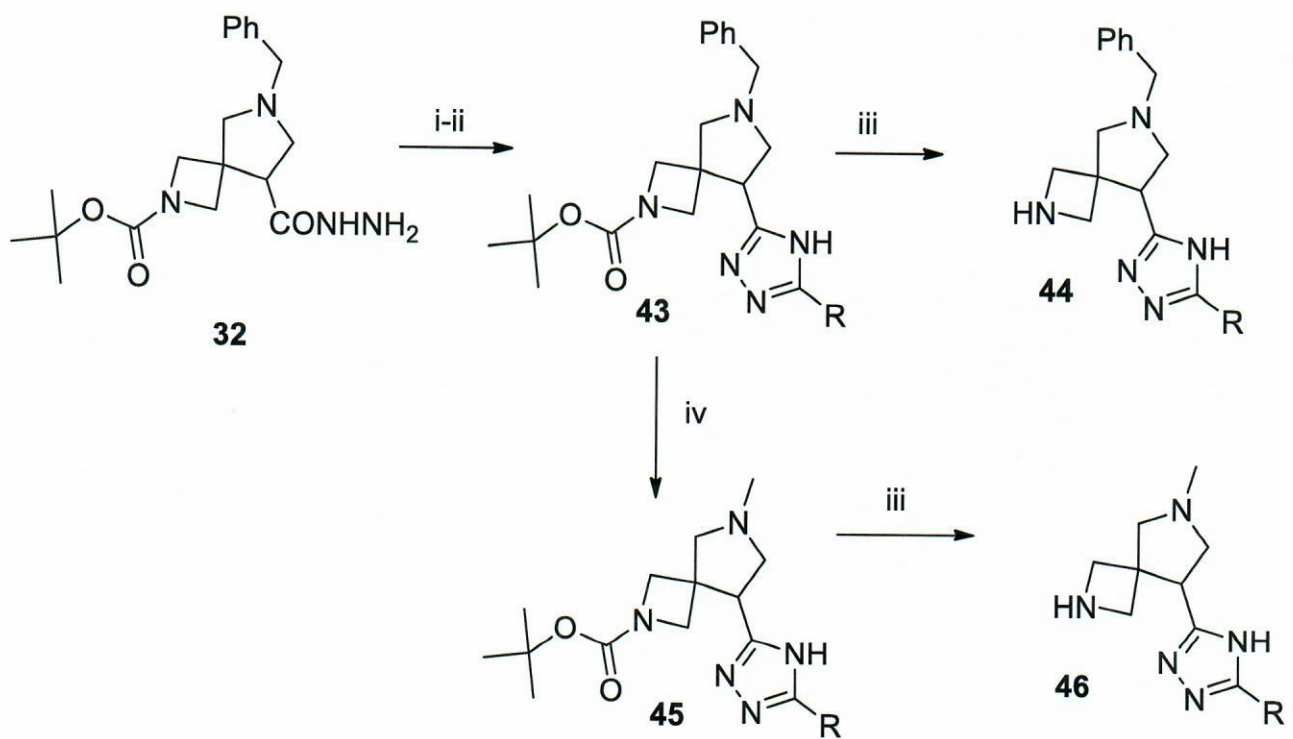
LK1967	
LK1968	



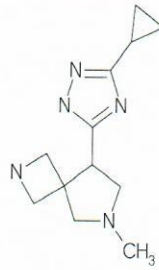
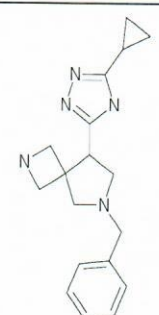
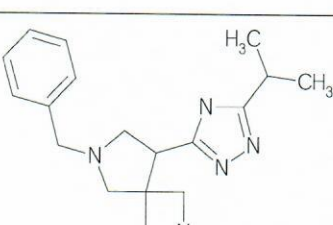
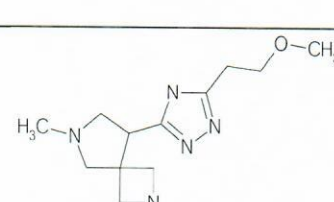
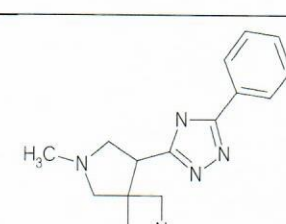
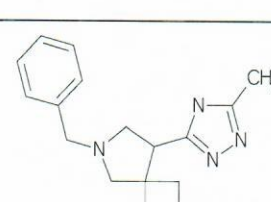
**Рисунок 10 - Схема 9.** Реагенты и условия: i. 64% водн.  $N_2H_4$ , этанол, кипячение, 8 ч; ii. MeNCS, этанол, кипячение, 2 ч; iii. Ni Ренея, этанол, кипячение, 12 ч; iv.  $H_2$ , 10% Pd-C, 100 атм, комн.т., 12 ч; v. RCOOH, КДИ, ДМФА, комн.т., 4 ч.. vi.  $CF_3COOH$ ,  $CH_2Cl_2$ , 0  $^{\circ}C \rightarrow$  комн.т., 1 ч; v. vi.  $H_2$ , 10% Pd-C, 100 атм, комн.т., 12 ч; vii. RCl,  $Et_3N$ ,  $CH_2Cl_2$ , 0  $^{\circ}C \rightarrow$  комн.т., 18 ч.

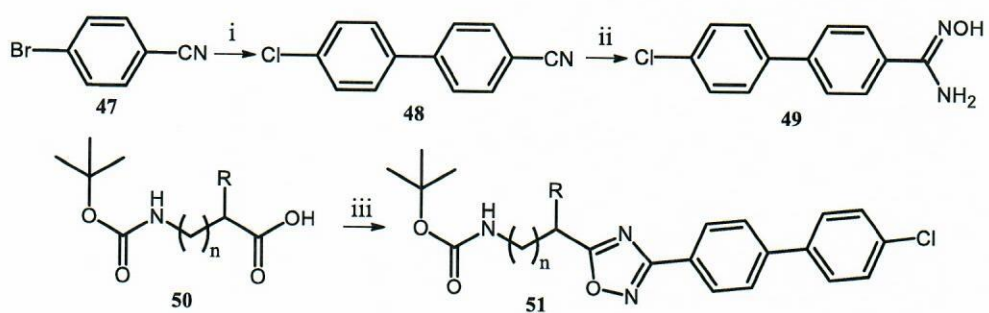
LK1872	
LK1855	
LK1876	
LK1888	
LK1914	
LK1916	
LK1918	

LK1940	
LK1960	
LK1961	



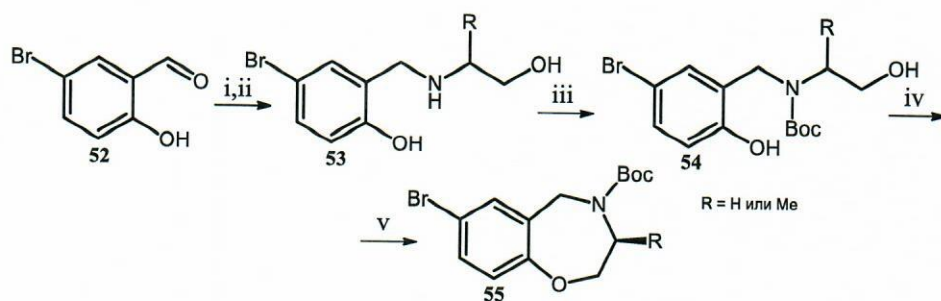
**Рисунок 11 - Схема 10.** Реагенты и условия: i. ацетамидин (циклогексанамидин) HCl, MeONa, MeOH, комн.т., 18 ч; ii. 170 °C в токе аргона; iii. CF<sub>3</sub>COOH, CH<sub>2</sub>Cl<sub>2</sub>, 0 °C→ комн.т., 1 ч. iv. H<sub>2</sub>, 10% Pd-C, 100 атм, комн.т., 12 ч; v. 37% водн. формальдегид, CH<sub>2</sub>Cl<sub>2</sub>, NaBH(OAc)<sub>3</sub>, комн.т., 18 ч.

LK1881	
LK1882	
LK1963	
LK1971	
LK1972	
LK1973	

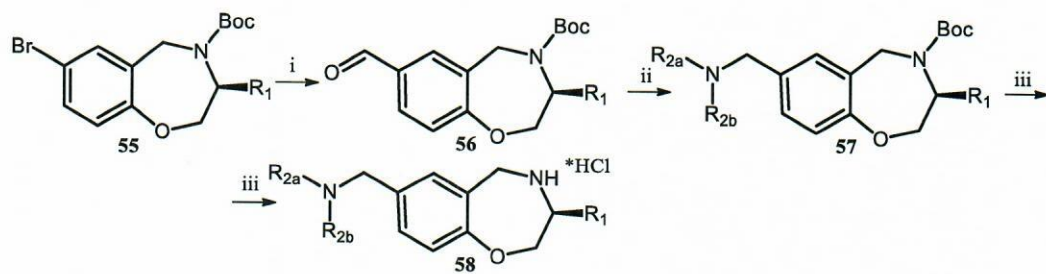


**Рисунок 12 - Схема 11.** Реагенты и условия: i. пара-хлорфенилбороновая кислота,  $\text{K}_2\text{CO}_3$ ,  $\text{H}_2\text{O}$ , диоксан,  $\text{Pd}(\text{PPh}_3)_4$ ,  $90^\circ\text{C}$ , 4 ч; ii.  $\text{NH}_2\text{OH}$ ,  $\text{EtOH}$ , т.кип. 5 ч; iii. КДИ,  $\text{ДМСО}$ , 30 мин., затем **49**, 12 ч., затем  $\text{NaOH}$ , 30 мин.

LK1888		LK1894	
LK1889		LK1895	
LK1890		LK1896	
LK1891		LK1897	
LK1892		LK1898	
LK1893		LK1899	

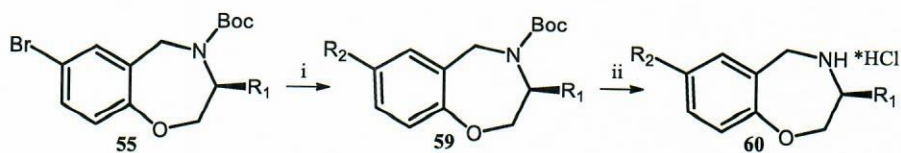


**Рисунок 13 - Схема 12.** Реагенты и условия: i. аминоэтанол, толуол,  $\text{H}_2\text{O}$ , диоксан, т.кип, 5 ч; ii.  $\text{NaBH}_4$ ,  $\text{EtOH}$ ,  $0^\circ\text{C} \rightarrow$  комн.т., 30 мин.; iii.  $\text{Boc}_2\text{O}$ ,  $\text{EtOAc}$ , 18 ч, комн.т.; iv. DIAD,  $\text{PPh}_3$ , ТГФ, 18 ч.

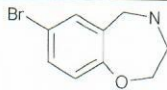
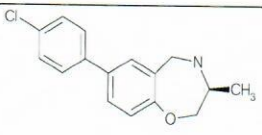
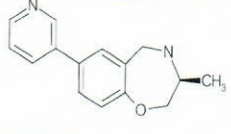
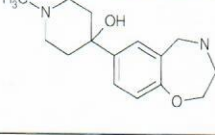
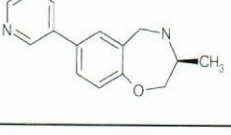


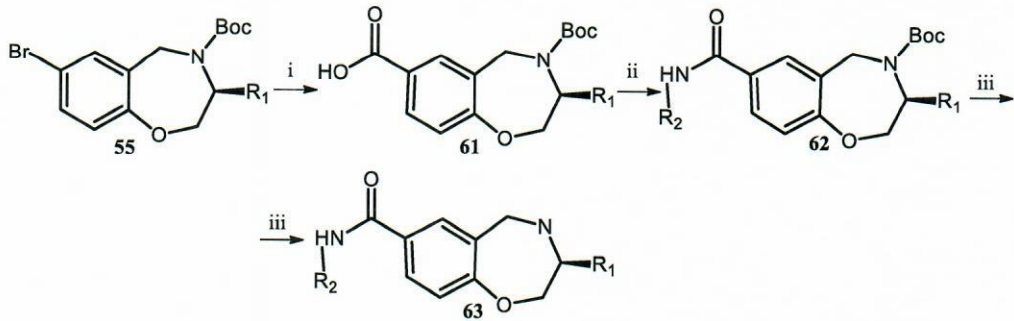
**Рисунок 14 - Схема 13.** Реагенты и условия: i.  $\text{BuLi}$ , ТГФ,  $-70^\circ\text{C}$ , 30 мин, затем ДМФА; ii.  $\text{NHR}_1\text{R}_2$ ,  $\text{NaBH}(\text{OAc})_3$ ,  $\text{CH}_2\text{Cl}_2$ , комн.т., 24; iii. 4M  $\text{HCl}$ /диоксан, комн. т., 8 ч.

LK1856		LK1861	
LK1857		LK1862	
LK1858		LK1863	
LK1859		LK1954	
LK1860		LK1928	

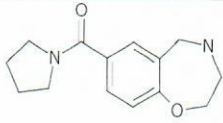
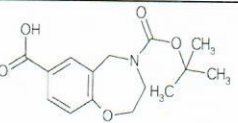
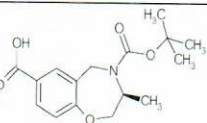
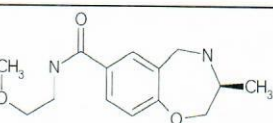
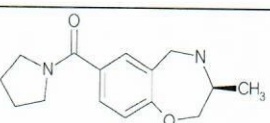


**Рисунок 15 - Схема 14.** Реагенты и условия: i.  $\text{RB(OH)}_2$ ,  $\text{K}_2\text{CO}_3$ ,  $\text{H}_2\text{O}$ , диоксан,  $\text{Pd}(\text{PPh}_3)_4$ ,  $90^\circ\text{C}$ , 4 ч; ii. 4М  $\text{HCl}$ /диоксан, комн. т., 8 ч.

LK1865	
LK1866	
LK1867	
LK1868	
LK1875	



**Рисунок 16 - Схема 15.** Реагенты и условия: i.  $\text{BuLi}$ , ТГФ,  $-70^\circ\text{C}$ , 30 мин, затем  $\text{CO}_2$ ; ii. КДИ,  $\text{NH}_2\text{-R}_2$ ,  $\text{CH}_2\text{Cl}_2$ , комн.т., 2 ч; iii. 4М  $\text{HCl}$ /диоксан, комн. т., 8 ч.

LK1870	
LK1874	
LK1883	
LK1928	
LK1950	

### 2.1.3 Заключение

Согласно вышеописанным схемам были синтезированы указанные соединения в количестве не менее 100мг для последующего анализа в *in vitro* тест-системах.

## **2.2 *In vitro* тестирование активности потенциальных агонистов TAAR1**

### **2.2.1 Проверка способности к активации человеческого рецептора следовых аминов 1-го типа (hTAAR1) методом BRET**

#### **2.2.1.1 Обоснование исследования**

Способность агонистов активировать человеческий TAAR1 оценивается *in vitro* по повышению внутриклеточного уровня циклического аденоzinмонофосфата (цАМФ) при помощи метода резонансного переноса энергии биолюминесценции (BRET).

В основе метода BRET лежит способность химерного белка Rluc-EPAC-YFP изменять свою конформацию при связывании с цАМФ. В результате молекула-донор энергии (люцифераза кораллового полипа *R. reniformis* – Rluc) и молекула-акцептор (жёлтый флуоресцентный белок – YFP), обычно расположенные близко друг к другу в неактивированном состоянии EPAC (exchange protein activated by cAMP), значительно отдаляются, что приводит к снижению резонансного неизлучательного переноса энергии от донора к акцептору. В итоге изменяется соотношение интенсивности люминесценции акцептора (525 нм) и интенсивности люминесценции донора (480 нм), или так называемое соотношение BRET. Таким образом, при активации Gαs-сигнального пути, возникающего при активации изучаемого рецептора каким-либо лигандом, будет наблюдаться снижение соотношения BRET. Следовательно, чем сильнее будет снижение данного соотношения от исходного уровня, тем более сильным агонистом будет считаться химическое соединение.

#### **Цель исследования:**

Провести *in vitro* скрининг и фармакологическую характеристацию вновь синтезированных соединений-потенциальных агонистов рецептора следовых аминов 1-го типа (TAAR1).

#### **Задача исследования:**

Проверить способность ряда вновь синтезированных соединений-потенциальных агонистов *in vitro* активировать человеческий TAAR1 (hTAAR1), с помощью оценки повышения внутриклеточного уровня циклического аденоzinмонофосфата (цАМФ) методом резонансного переноса энергии биолюминесценции (BRET).

#### **2.2.1.2 Материалы и методы исследования**

Для проведения *in vitro* тестирования с использованием технологии BRET культуру клеток линии CHO-K1 (ATCC) выращивали до достижения 70-90 % монослоя. Клетки ко-трансфецировали двумя экспрессионными векторами (по 3-5 мкг ДНК), кодирующими hTAAR1 и EPAC соответственно, посредством реагента Lipofectamine 2000 (ThermoFisher) в соответствии с инструкцией производителя. Трансфицированные клетки засевали в 96-

луночные пластины для люминесцентных методов (Costar) из расчета 80000-100000 клеток на лунку. Клетки выращивали на пластинах в течение 24 часов. Затем культуральную жидкость осторожно удаляли и в каждую лунку вносили по 70 мкл среды DMEM без красителя фенолового красного (Sigma), содержащей 0,03% аскорбиновой кислоты, после чего добавляли по 10 мкл 2мМ раствора 3-изобутил-1-метилксантин (IBMX, Sigma) в качестве ингибитора фосфодиэстеразы, и по 10 мкл субстрата люциферазы – 50 мкМ раствора коэлентеразина h (Promega). Пластины инкубировали 10 мин при комнатной температуре в темноте, вносили в лунки по 10 мкл необходимых разведений исследуемых соединений и инкубировали ещё 5 мин при комнатной температуре в темноте. Далее пластину помещали в микропластиновый ридер Mithras LB943 (Berthold Technologies), и регистрировали интенсивность люминесценции при длинах волн 535 и 480 нм. При проведении первичного скрининга соединения тестировались в дубликатах. Для веществ, показавших наибольший эффект при первичном скрининге, ставились отдельные опыты по оценке зависимости эффекта от концентрации (8 точек); при этом тестирование производилось в 3 повторах. В качестве положительных контролей применялись природные агонисты hTAAR1 тирамина гидрохлорид и/или фенилэтиламин (Sigma). Рассчитанные после вычитания бланковых проб значения  $\Delta$ BRET использовались для построения кривых «концентрация-эффект» и вычисления медианной эффективной концентрации ( $EC_{50}$ ) при помощи нелинейной регрессионной модели применяя специализированное ПО GraphPad Prism 7.0 (GraphPad Software).

### 2.2.1.3 Результаты

Всего было проверено 196 веществ. Полученные результаты сведены в Таблицу 1.

**Таблица 1.** Данные оценки активности новых соединений

Compound ID	MW	Emax* at 1 $\mu$ M, %	EC50, $\mu$ M
LK1813	414,86	90,91	
LK1823	336,79	138,56	
LK1820	376,85	66,79	
LK1828	336,79	99,65	
LK1844	401,86	Inactive	
LK01771	350,81	94,75	
LK1812	364,84	Inactive	
LK1814	368,81	Inactive	
LK1815	364,84	Inactive	

<b>Compound ID</b>	<b>MW</b>	<b>Emax* at 1 μM, %</b>	<b>EC50, μM</b>
LK1816	350,81	62,26	
LK1817	388,26	Inactive	
LK1818	368,81	104,88	>10
LK1821	380,84	Inactive	
LK1822	380,84	Inactive	
LK1823	336,79	138,56	0,003
LK1824	322,76	97,88	
LK1825	350,81	Inactive	
LK1826	310,75	72,34	
LK1827	350,81	78,68	
LK1828	336,79	99,65	0,01
LK1829	296,72	78,89	
LK01757	364,84	Inactive	
LK01758	336,79	62,42	
LK01759	350,81	Inactive	
LK01760	350,81	62,61	
LK01761	350,81	Inactive	
LK01762	336,79	111,81	1,05
LK01763	336,79	Inactive	
LK01764	364,84	Inactive	
LK01765	352,83	Inactive	
LK01766	338,8	Inactive	
LK01767	378,87	Inactive	
LK01768	394,87	Inactive	
LK01769	364,84	72,03	
LK01770	350,81	Inactive	
LK01625	371,37	Inactive	
LK01627	371,37	65,35	
LK01630	357,39	Inactive	
LK01632	311,7	Inactive	
LK01633	375,77	Inactive	
LK01636	482,52	Inactive	
LK01637	335,71	Inactive	
LK01639	425,34	125,11	>10
LK1855	419,96	Inactive	
LK1856	384,78	Inactive	

<b>Compound ID</b>	<b>MW</b>	<b>Emax* at 1 μM, %</b>	<b>EC50, μM</b>
LK1857	305,25	Inactive	
LK1858	470,27	Inactive	
LK1859	321,25	Inactive	
LK1860	367,32	Inactive	
LK1861	434,8	Inactive	
LK1862	335,27	Inactive	
LK1863	289,38	Inactive	
LK1864	313,23	Inactive	
LK1865	264,55	57,16	
LK1866	310,23	Inactive	
LK1867	313,23	Inactive	
LK1868	335,27	Inactive	
Lk1869	406,78	Inactive	
LK1870	282,77	Inactive	
LK1871	370,46	Inactive	
LK1872	361,47	Inactive	
LK1873	334,39	Inactive	
LK1874	293,32	Inactive	
LK1875	314,22	Inactive	
LK1876	383,5	Inactive	
LK1877	332,45	Inactive	
LK1878	372,45	Inactive	
LK1879	309,41	Inactive	
LK1880	328,84	Inactive	
LK1881	306,24	Inactive	
LK1882	418,8	Inactive	
LK1883	307,35	Inactive	
LK1884	317,82	73,86	
LK1885	247,73	98,7	
LK1886	309,8	Inactive	
LK1887	314,82	Inactive	
LK1888	336,27	Inactive	
LK1889	334,83	Inactive	
LK1890	286,76	61,11	
LK1891	330,86	53,47	
LK1892	217,7	Inactive	

<b>Compound ID</b>	<b>MW</b>	<b>Emax* at 1 <math>\mu</math>M, %</b>	<b>EC50, <math>\mu</math>M</b>
LK1893	297,76	Inactive	
LK1894	287,79	79,12	
LK1895	417,38	72,26	
LK1896	248,26	Inactive	
LK1897	265,72	Inactive	
LK1898	284,72	Inactive	
LK1899	337,83	Inactive	
LK1900	257,76	Inactive	
LK1901	247,7	100,13	0,046
LK1902	221,66	Inactive	
LK1903	287,79	Inactive	
LK1904	341,82	Inactive	
LK1905	327,86	Inactive	
LK1906	287,79	70,43	
LK1907	357,28	Inactive	
LK1908	361,27	Inactive	
LK1909	361,27	Inactive	
LK1910	331,84	81,86	
LK1911	283,73	Inactive	
LK1912	316,83	Inactive	
LK1913	372,34	Inactive	
LK1914	392,76	Inactive	
LK1915	247,73	Inactive	
LK1916	344,26	69,48	
LK1917	310,8	67,37	
LK1918	392,76	Inactive	
LK1919	372,34	53,27	
LK1920	332,27	Inactive	
LK1921	357,28	Inactive	
LK1922	321,18	Inactive	
LK1923	261,75	Inactive	
LK1924	309,8	56,38	
LK1925	277,75	Inactive	
LK1926	286,76	Inactive	
LK1927	281,36	Inactive	
LK1928	300,79	Inactive	

<b>Compound ID</b>	<b>MW</b>	<b>Emax* at 1 μM, %</b>	<b>EC50, μM</b>
LK1929	302,76	64,87	
LK1930	277,73	48,22	
Lk1931	368,78	Inactive	
LK1932	273,34	Inactive	
LK1933	234,23	Inactive	
LK1934	272,74	Inactive	
LK1935	273,76	78,17	
Lk1936	322,82	Inactive	
LK1937	306,17	Inactive	
LK1938	273,76	96,29	
Lk1939	300,79	Inactive	
LK1940	338,24	Inactive	
LK1941	310,8	Inactive	
LK1942	296,78	Inactive	
LK1943	374,36	Inactive	
LK1944	297,23	50,25	
Lk1945	336,84	Inactive	
LK1946	322,82	Inactive	
LK1947	274,75	Inactive	
LK1949	360,33	Inactive	
LK1950	296,8	Inactive	
LK1951	284,23	Inactive	
Lk1952	357,28	Inactive	
LK1953	289,81	Inactive	
Lk1954	346,88	Inactive	
LK1955	289,81	Inactive	
LK1956	312,8	Inactive	
LK1957	332,27	Inactive	
LK1958	260,72	62,65	
Lk1959	346,3	Inactive	
LK1960	308,21	Inactive	
LK1961	356,3	Inactive	
Lk1962	405,8	Inactive	
LK1963	420,81	Inactive	
LK1964	280,2	Inactive	
LK1965	511,38	Inactive	

<b>Compound ID</b>	<b>MW</b>	<b>Emax* at 1 µM, %</b>	<b>EC50, µM</b>
LK1966	357,28	Inactive	
LK1967	308,25	Inactive	
LK1968	280,2	Inactive	
LK1969	340,29	Inactive	
LK1970	369,47	93,58	
LK1971	360,71	Inactive	
LK1972	378,73	Inactive	
LK1973	392,76	67,11	
LK1888	376,27	71,93	
LK1889	336,21	90,25	0,017
LK1890	376,27	93,49	0,099
LK1891	376,27	67,01	
LK1892	362,25	78,07	
LK1893	336,21	66,04	
LK1894	364,26	71,74	
LK1895	378,29	70,46	
LK1896	412,31	70,97	
LK1897	390,3	75,64	
LK1898	336,21	82,99	
LK1899	362,25	83,56	
LK01910A	411,76	124,74	
LK01911A	397,74	122,7	
LK01912A	411,76	132,63	0,0011
LK01913A	383,71	106,54	
LK01914A	411,76	113,19	
LK01915A	357,67	116,77	
LK01916A	371,7	112,78	
LK01917A	413,78	132,06	0,012
LK01918A	447,8	125,81	
LK01919A	397,74	131,56	
LK01921A	425,79	136,5	
LK01922A	411,76	137,55	0,019
LK01924A	389,69	112,97	
LK01925A	373,23	112,5	
LK01926A	385,27	101,37	
LK01927A	391,22	90,65	

Compound ID	MW	Emax* at 1 $\mu$ M, %	EC50, $\mu$ M
LK01928A	369,27	85,3	
LK01929A	369,27	122,38	
LK01930A	373,23	117,34	
LK01931A	371,7	76,2	
LK01932A	355,24	136,9	0,04
LK01933A	391,22	110,01	
LK01934A	423,24	87,18	

\*активность исследованного соединения по отношению к активности 1  $\mu$ M тирамина гидрохлорида (положительный контроль), принятой за 100%.

Как видно, не все изученные вещества оказались активными – большинство было отброшено при первичном скрининге, остающиеся показали эффект в большей или меньшей степени (Табл.1), из них 10 соединений имеют показатель EC50 в пределах от 1 мкМ до 1 нМ (Табл.1). Кривые «концентрация-эффект» для четырёх наиболее активных соединений (LK01912A с EC50=1,1 нМ; LK01917A с EC50=11,8 нМ; LK01922A с EC50=19,1 нМ и LK01932A с EC50=39,9 нМ) представлены на рисунке 17.

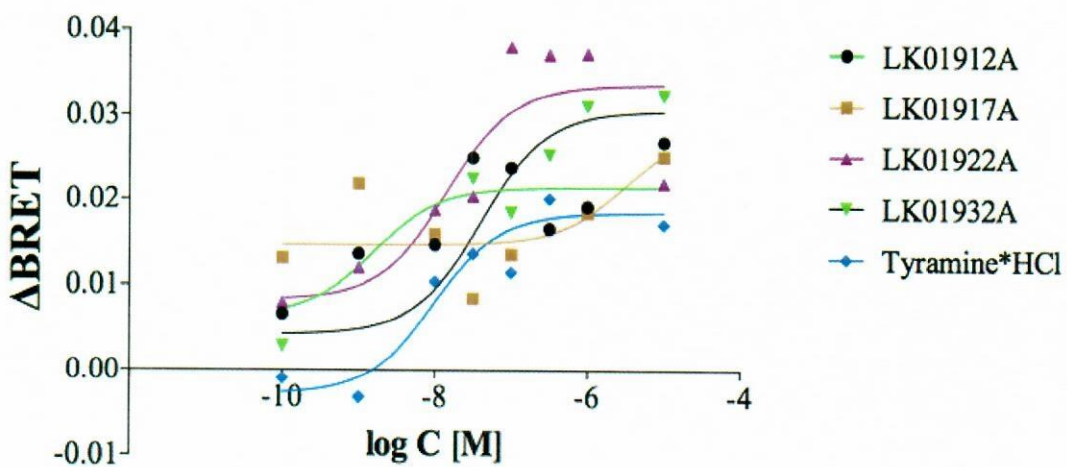
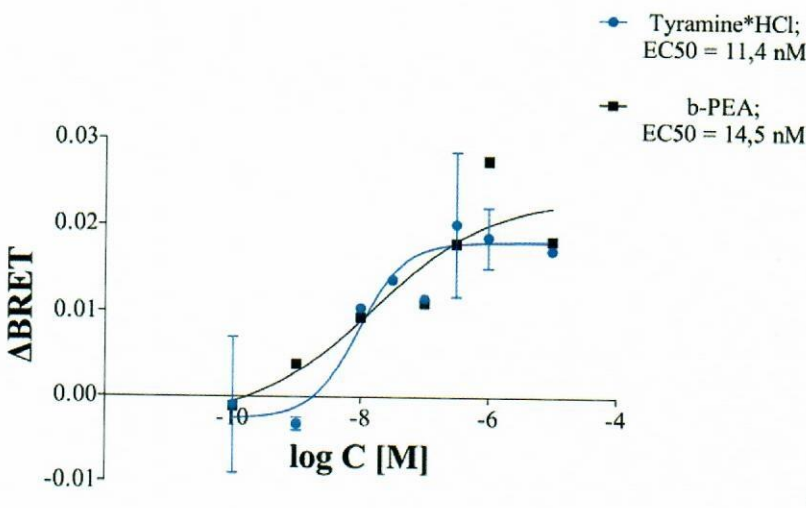


Рисунок 17. Кривые “концентрация-эффект” для веществ, показавших наибольший эффект, и тирамина гидрохлорида

Природные агонисты TAAR1 тирамина гидрохлорид и фенилэтиламин (PEA) показали свой обычно высокий эффект (Рис. 18), что указывает на адекватность используемой тест-системы.



**Рисунок 18.** Кривые “концентрация-эффект” для положительных контролей: тирамина гидрохлорида и фенилэтиламина

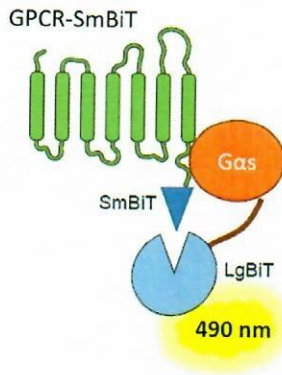
#### 2.2.1.4 Заключение и выводы

Проверено *in vitro* на агонизм в отношении человеческого TAAR1 196 вновь синтезированных соединений. Большинство было отброшено при первичном скрининге, остающиеся показали эффект в большей или меньшей степени (Табл.1), из них 10 соединений имеют показатель EC50 в пределах от 1 мкМ до 1 нМ (Табл.1). Четыре наиболее активных *in vitro* соединения (LK01912A, LK01917A, LK01922A и LK01932A) можно предложить проверить на специфическое действие *in vivo*.

### 2.2.2 Проверка способности к активации человеческого рецептора следовых аминов 1-го типа (hTAAR1) методом NanoBiT

#### 2.2.2.1 Обоснование исследования

NanoBiT — это структурная комплементарная репортерная система, которая позволяет изучать белок-белковые взаимодействия в живых клетках. Она основана на использовании сплэтиированной нанолюциферазы, разделенные части которой клонированы на разных векторах и прикреплены к нашим интересующим белкам. Эти две части называются большой субъединицей (LgBiT; 17,6 кДа) и малой субъединицей (SmBiT; пептид из 11 аминокислот). Когда оба вектора экспрессируются в клетках, субъединицы объединяются только если два белка взаимодействуют, образуя активный фермент и генерируя яркий люминесцентный сигнал в присутствии субстрата (рисунок 19).



**Рисунок 19.** Схема репортерной системы NanoBiT, используемая в данной работе

#### **Цель исследования:**

Провести *in vitro* скрининг и фармакологическую характеристизацию вновь синтезированных соединений-потенциальных агонистов рецептора следовых аминов 1-го типа (TAAR1), выявленных методом BRET

#### **Задача исследования:**

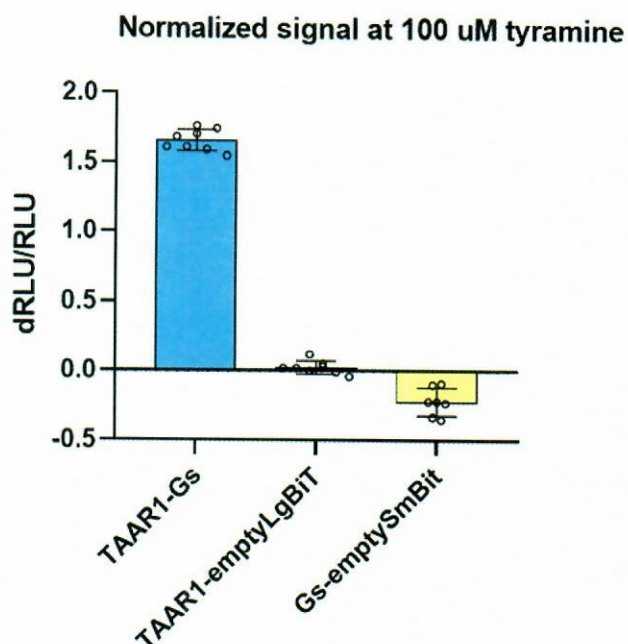
Проверить способность ряда вновь синтезированных соединений-потенциальных агонистов *in vitro* активировать человеческий TAAR1 (hTAAR1), с помощью структурной комплементарной репортерной системы NanoBiT.

#### **2.2.2.2 Материалы и методы исследования**

В данной работе ген человеческого TAAR1 был заклонирован с последовательностью SmBiT на C-конце, а Gs белок была слита с LgBiT на N-конце. В случае активации рецептора белок Gs подходит к нему и благодаря комплементации люцифераза становится активным холоферментом, испускающим свет при наличии окисляемого субстрата фуримазина. Эта люминесценция в свою очередь служит показателем активации рецептора TAAR1. Для увеличения поверхностной экспрессии на N-конец TAAR1 была добавлена последовательность 23 первых а.к. рецептора mGlur5, а также HA-таг для детекции. Для проведения NanoBiT культуру клеток HEK293T в чашке 10 см котрансфектировали двумя экспрессионными векторами Gs-LgBiT (0.5 мкг) и TAAR-SmBiT (5 мкг). Трансфекция длилась 17-18 часов. После инкубации рассевали клетки в “белые” 96-луночные планшеты для тестирования из расчёта 50 000/лунка и инкубировали 24 часа. Через 24 часа после рассева вносили в лунки исследуемые соединения и измеряли ответ. Данные представлены как среднее±SEM.

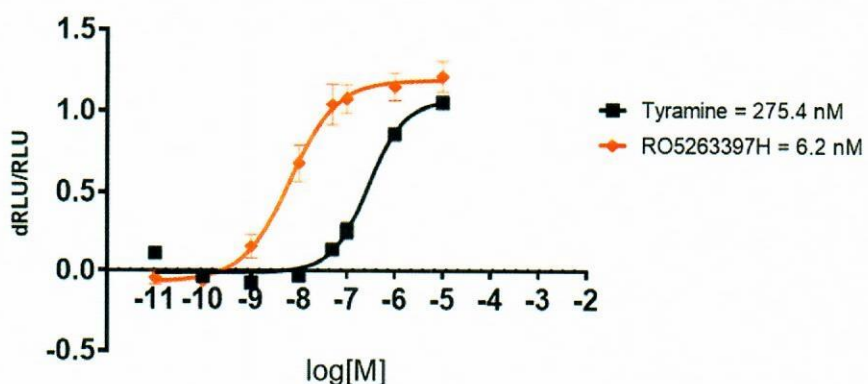
### 2.2.2.3 Результаты

Для валидации специфичности ответа и используемой конструкции использовали котрансфекцию TAAR-SmBiT с вектором-«пустышкой», несущим последовательность LgBiT. А также комбинацию Gs-LgBiT/вектор-«пустышка» SmBiT. При проверке на высокую концентрацию агониста тирамина специфический ответ наблюдался только в комбинации TAAR+Gs (рисунок 20).



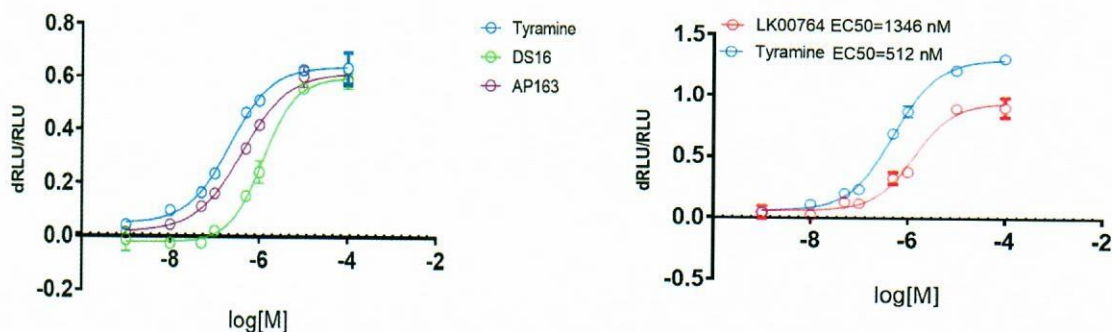
**Рисунок 20.** Проверка специфичности ответа в системе NanoBiT на тирамин (100 мкМ) - агонист TAAR1

Далее была построена кривая доза-эффект тирамина, а также RO5263397H, селективного агониста TAAR1, разработанного компанией Roche. Были получены значения EC50, сходные с лит.данными: EC50 (Tyr) = 275 нМ, EC50 (RO5263397H) = 6 нМ (рисунок 21)



**Рисунок 21.** Кривые доза-эффект для известных агонистов TAAR1.

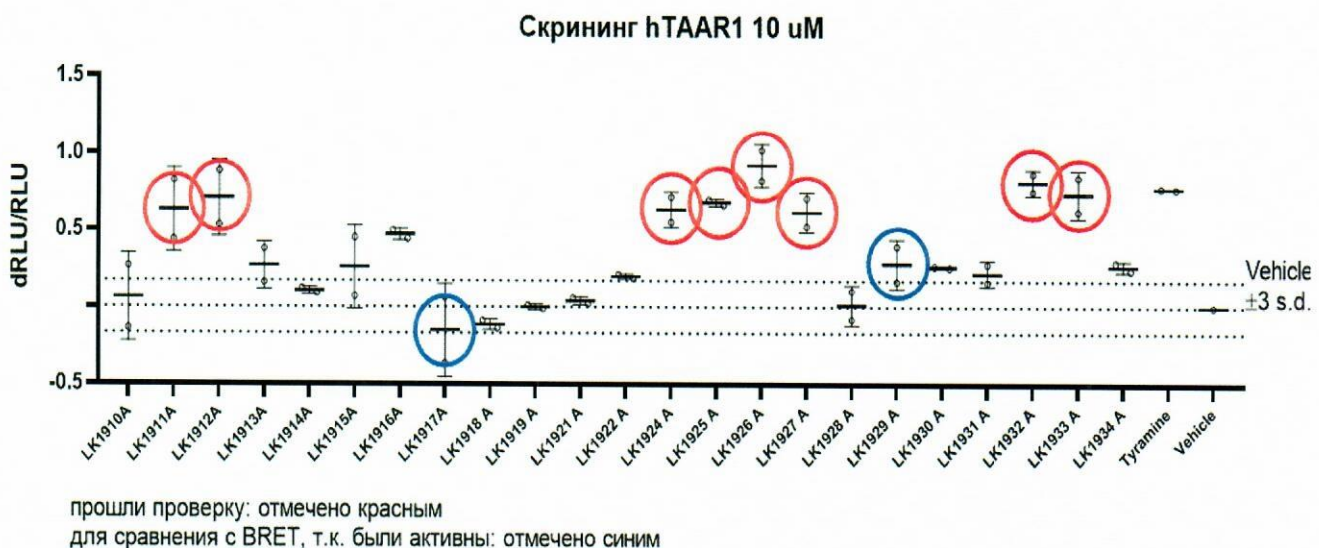
После валидации системы была проведена оценка EC50 разработанных в нашей лаборатории агонистов TAAR1: LK00764 (Lot#CC-11916), AP163, DS16 (рисунок 22).



**Рисунок 22.** Кривые доза-эффект для агонистов TAAR1, разработанных в нашей лаборатории.

В соответствии с полученными данными, LK00764 является неполным агонистом TAAR1 с активностью 1,3 мкМ. Эти данные получили подтверждение в трех независимых экспериментах. EC50 (AP163) = 414 нМ, что соответствует данным, полученным ранее. EC50 (DS16) – 1.2 мкМ.

Далее был проведен скрининг серии веществ в концентрации 10 мкМ, синтезированных на основе формулы LK00764 (рисунок 23 и таблица 2).



**Рисунок 23.** Результат скрининга серии LK.

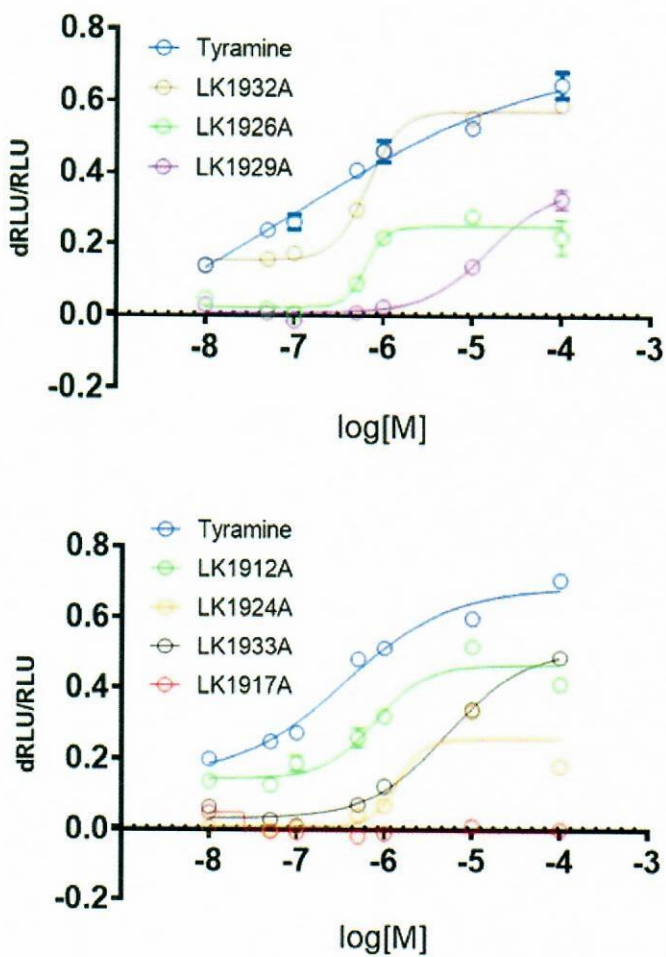
**Таблица 2.** Результат скрининга серии LK

	среднее, % от 10 мкМ тирамина
LK1932 A	107
LK1926 A	87
LK1929 A	82
LK1924 A	67
LK1912A	63
LK1933 A	60
LK1925 A	59
LK1911A	51
LK1930 A	46
LK1910A	46
LK1931 A	40
LK1934 A	38
LK1922 A	34
LK1918 A	34
LK1928 A	29
LK1927 A	27
LK1916A	22
LK1919 A	19
LK1913A	12
LK1921 A	10
LK1915A	7
LK1914A	5
LK1917A	-

Наиболее активные вещества проверили на EC50, получив следующие данные (Таблица 3, рисунок 24):

**Таблица 3.** Оценка EC50 у наиболее активных соединений

	M	uM	nM
Tyramine	3.64E-07	0.3635	363.5
LK1932A	6.56E-07	0.6558	655.8
LK1926A	6.33E-07	0.6326	632.6
LK1929A	1.56E-05	15.62	15620
LK1933A	5.27E-06	5.273	5273
LK1917A	не активно	-	-



**Рисунок 24.** Данные доза-эффект веществ серии LK.

#### 2.2.2.4 Заключение

Таким образом, разработанная в данной работе тест-система NanoBiT подходит для дополнительного подтверждения активности агонистов hTAAR1, так как построена на другом принципе. Однако, существуют разночтения с ранее используемой для скрининга системе BRET и биосенсоре EPAC, направленной на молекулу цАМФ, особенно в случае с LK00764, который согласно данным NanoBiT обладает более низкой аффинностью к рецептору, чем тирамин. Тем не менее данная система подтвердила, что соединения AP163 и DS16, синтезированные на предыдущем этапе являются полными агонистами TAAR1, причем AP163 обладает сходным значением EC<sub>50</sub> при сравнении с имеющимися данными. Был проведен скрининг серии “LK”, наиболее активным соединением оказалось в-во LK1932A.

## **2.3 Исследование активности LK00764 в физиологических тестах *in vivo***

### **2.3.1 Острое интрагастральное введение LK00764 для оценки его действия на модели двигательной гиперактивности у крыс, нокаутных по гену DAT**

#### **2.3.1.1 Обоснование исследования**

Дофаминовый транспортёр (dopamine transporter, DAT), обеспечивающий обратный захват дофамина из синаптической щели в пресинаптический нейрон, является одним из ключевых белков дофаминергической нейропередачи (Leo et al., 2018). В 2018 году с помощью метода редактирования генома с использованием нуклеаз с «цинковыми пальцами» (zinc fingers) были созданы крысы, нокаутные по гену DAT (DAT knockout, DAT-KO). Такие крысы характеризуются высокой внеклеточной концентрацией дофамина в полосатом теле, а также характерным фенотипом: в первую очередь для DAT-KO крыс свойственна выраженная двигательная гиперактивность по сравнению с особями «дикого типа» (wild type, WT) (Vengeliene et al., 2017; Leo et al., 2018; Reinwald et al., 2022). Ранее показано, что агонисты TAAR1 способны снижать двигательную гиперактивность DAT-KO животных (Revel et al., 2011; Leo et al., 2018).

Целью настоящего исследования было оценить влияние LK00764 на двигательную активность DAT-KO крыс при пероральном введении.

#### **2.3.1.2 Материалы и методы исследования**

##### **Животные**

Эксперименты выполнены на самках DAT-KO крыс (KO – n=14, WT – n=7) возрастом – 4-5 месяцев) из локальной колонии Отдела психофармакологии Института фармакологии им. А.В. Вальдмана. Крыс содержали в группах сиблиングов (3-5 особей) в клетках TIV (Tecniplast, Италия) со свободным доступом к фильтрованной водопроводной воде (Водоочиститель АКВАФОР B150 Фаворит, Санкт-Петербург, Россия) и пище (полнорационный экструдированный корм для лабораторных животных, формула ПК 120-1, ООО «Лабораторкорм», Россия) в помещении #3-10 с контролируемыми условиями: температура воздуха — 21±1°C; влажность — 50±20%; световой цикл — 12 ч. свет/ 12 ч. темнота

В течение трёх дней перед тестом животных приучали к рукам экспериментатора и пероральному (п/о): крыс брали в руки, мягко фиксировали и через гаважнюю иглу вводили в желудок 0,9% раствора NaCl в объеме 1 мл/кг. В зависимости от индивидуальной реакции животных манипуляции осуществляли в течение 1-3 мин ежедневно.

После окончания эксперимента эвтаназию животных выполняли в камере с CO<sub>2</sub>.

## **Вещества**

Растворы LK00764 (0; 20; 40; 80 мг/мл) в 10% растворе Tween 80 в дистиллированной воде приготавляли в день выполнения тестов и вводили п/о в объёме 2 мл/кг (в соответствии с рекомендациями разработчика исследованных соединений и Спонсора исследования).

## **Экспериментальные процедуры**

### **Дизайн исследования**

В исследовании был применен within-subject дизайн, предусматривающий использование одной группы животных. Крысы получали дозы LK00764 (0; 40; 80; 160 мг/кг) по схеме «Латинский квадрат», один раз в неделю.

### **Экспериментальная установка**

Для регистрации двигательной активности крыс использовали выполненную по заказу установку «Актометр», состоящую из 2-х освещаемых тусклым светом (30–40 лк) звукоизоляционных камер с принудительной приточной вентиляцией и подсветкой, в каждой из которых в гнездах стойки может быть размещено до пяти боксов (25 x 35,5 x 34 см) из прозрачного оргстекла. В гнезде стойки для каждого бокса находятся 3 фотодатчика на высоте 5 см для измерения горизонтальной активности и 8 датчиков на высоте 14 см — для измерения вертикальной активности. Камеры подключены к компьютеру, и с помощью программного обеспечения MED-PC (MED Associates, Inc., East Fairfield, VT, США) производится регистрация перекрываний фотодатчиков нижнего (отдельно - последовательные пересечения) и верхнего рядов. Использовали 4 камеры установки, при этом распределение животных каждой экспериментальной группы по камерам было сбалансировано (по 2 в каждой из 4-х камер). Длительность теста составляла 60 минут (12 пятиминутных интервалов).

Ранее данная установка была использована в отделе психофармакологии для выполнения ряда исследований (Dravolina et al., 2006; Chistyakov et al., 2010; Radchenko et al., 2015; Belozertseva et al., 2016; Piotrovskiy et al., 2016; Белозерцева и соавт., 2016, 2017; Sukhanov et al., 2018, 2019).

### **Регистрируемые показатели поведения**

Показатели горизонтальной двигательной активности:

- Количество последовательных перекрываний датчиков нижнего ряда.

### **Экспериментальная процедура**

Во время каждого теста крыс помещали в экспериментальную установку на 30 минут, затем доставали, вводили вещество в соответствующей дозе и возвращали в экспериментальную установку ещё на 120 минут.

### **Статистический анализ**

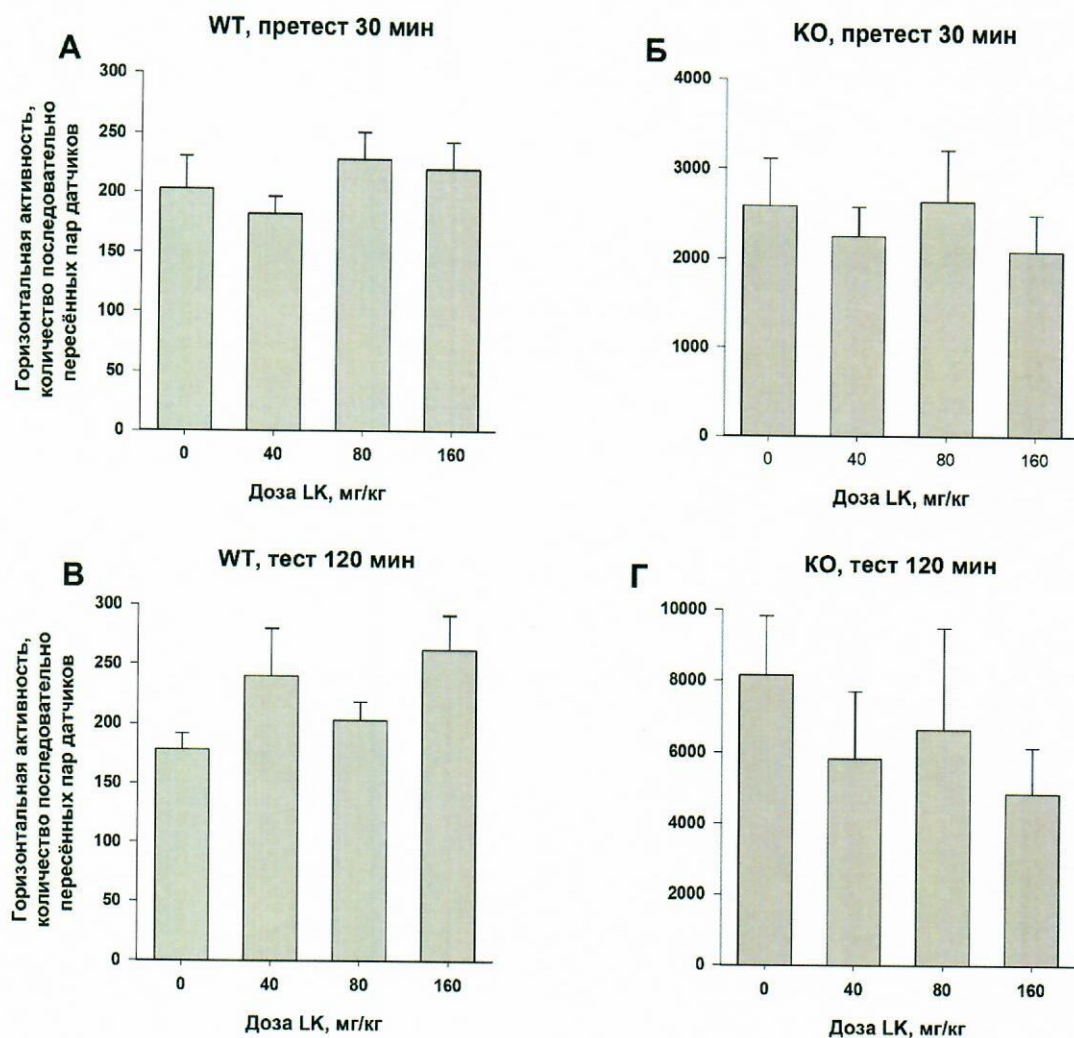
Для статистической обработки использовали пакет статистических программ IBM SPSS Statistics 21 (IBM, Нью-Йорк, США). Различия считали значимыми при  $P<0,05$ . Межгрупповые сравнения выполняли с использованием теста Бонферрони.

#### **2.3.1.3 Результаты**

В полном соответствие с предшествующими результатами (Leo et al., 2018) KO крысы, после введения растворителя, демонстрировали более чем на порядок повышенный уровень горизонтальной активности, чем WT животные в аналогичном состоянии ( $2584,3\pm525,62$  vs  $202,3\pm45,47$ ). Различия между группами достигали уровня статистической значимости (тест Манн-Уитни:  $P<0,001$ ).

Как видно на рисунке 25А,С, во все тестовые дни крысы экспериментальной и контрольной группы не различались по суммарному уровню горизонтальной активности за первые 30 минут до введения вещества или его растворителя (тест Фридмана:  $WT - X^2 = 0,43$   $df = 3$ ,  $P = 0,93$ ;  $KO - X^2 = 1,46$ ,  $df = 3$ ,  $P = 0,69$ ).

Как видно на рисунке 25В,Г, введение LK00764 в любой из протестированных доз не сопровождалось изменением суммарного уровня двигательной активности за 120 минут теста ни в контрольной, ни в экспериментальной группе (тест Фридмана:  $WT - X^2 = 5,16$   $df = 3$ ,  $P = 0,16$ ;  $KO - X^2 = 3,86$ ,  $df = 3$ ,  $P = 0,28$ )



**Рисунок 25.** Базальная горизонтальная двигательная активность и влияние введения LK00764 (40; 80 и 160 мг/кг) или 10% раствора Tween 80 в дистиллированной воде на горизонтальную двигательную активность WT (А,В) и DAT-KO (Б,Г) крыс. Данные представлены в виде средних  $\pm$  средняя ошибка средней; n=7 для каждой группы.

### 2.3.1.4 Выводы

В соответствие с предшествующими работами (Leo et al., 2018; Vengelin et al., 2011) крысы без или со значительно сниженным уровнем экспрессии дофаминового транспортёра демонстрируют повышенный уровень горизонтальной двигательной активности (Vengeliene et al., 2017; Leo et al., 2018; Reinwald et al., 2022). При этом введение LK00764 не оказывало влияния на двигательную активность крыс как контрольной, так и экспериментальной группы.

## **2.3.2 Острое интрагастральное введение LK00764 для оценки его действия на крыс, находящихся под действием ингибитора рецепторов NMDA - МК-801**

### **2.3.2.1 Обоснование исследования**

Известно, что антагонисты глутаматных рецепторов NMDA-подтипа (фенциклидин, МК-801) обладают выраженным психостимулирующими свойствами и в высоких дозах повышают двигательную активность крыс и мышей (Danysz et al., 1994; Ford et al., 1989). Способность фармакологических агентов уменьшать вызванную введением NMDA-антагонистов двигательную активацию у грызунов активно используют для поиска новых соединений с антипсихотическими свойствами. Ранее также было показано, что агонисты TAAR1 способны блокировать гипоглутамерическую гиперактивность (Dedic et al., 2019; Revel et al., 2011; Revel et al., 2013).

### **2.3.2.2 Материалы и методы исследования**

#### **Животные**

Эксперименты выполнены на взрослых (возраст > 2 месяцев) самцах крыс стока Wistar (массой > 200 г) из колонии Отдела психофармакологии Института фармакологии им. А.В. Вальдмана. Экспериментальных животных содержали в группах сиблиングов (3-5 особей) в клетках TIV (Tecniplast, Италия) со свободным доступом к фильтрованной водопроводной воде (Водоочиститель АКВАФОР В150 Фаворит, Санкт-Петербург, Россия) и пище (полнорационный экструдированный корм для лабораторных животных, формула ПК 120-1, ООО «Лабораторкорм», Россия) в помещении #3-10 с контролируемыми условиями: температура воздуха —  $21\pm1^{\circ}\text{C}$ ; влажность —  $50\pm20\%$ ; световой цикл — 12 ч. свет/ 12 ч. темнота

В течение трёх дней перед тестом животных приучали к рукам экспериментатора и внутрижелудочному введению: крыс брали в руки, мягко фиксировали и внутрижелудочно вводили 0,9% раствор NaCl в объеме 1 мл/кг. В зависимости от индивидуальной реакции животных манипуляции осуществляли в течение 1-3 мин ежедневно.

После окончания эксперимента эвтаназию животных выполняли в камере с CO<sub>2</sub>.

#### **Вещества**

Информация о фармакологических агентах представлена в Таблице 4. Растворы LK00764 160 мг/кг приготавливали в день выполнения тестов и вводили внутрижелудочно в объёме 2 мл/кг (в соответствии с рекомендациями разработчика исследованных соединений и Спонсора исследования). МК-801 вводили внутрибрюшинно в объёме 1 мл/кг. Раствор готовили на основе матричного (1 мг/мл), приготовленного в первый день эксперимента.

**Таблица 4.** Вещества в эксперименте

Вещество (производитель)	Растворитель	Время введения до теста, мин
MK-801	0,9% р-р NaCl	15
LK00764	10% р-р Tween 80	30
	Циклодекстрин	
	Кремофор	

### Экспериментальные процедуры

#### Дизайн исследования

В исследовании применен “between-subject” дизайн. Крыс разделили на семь групп, фармакологические агенты, которые получали животные каждой группы, представлены в Таблице 5.

**Таблица 5.** Группы животных в эксперименте

Группа	Инъекция 1	Инъекция 2
1	0,9% NaCl	MK-801
2	10% Tween 80	MK-801
3	10% кремофор	MK-801
4	3,2% раствор бета-циклодекстрина	MK-801
5	LK00764 в 10% Tween 80	MK-801
6	LK00764 в 10% кремофоре	MK-801
7	LK00764 в 3,2% растворе бета-циклодекстрина	MK-801

#### Экспериментальная установка

Для регистрации двигательной активности крыс использовали выполненную по заказу установку «Актометр», состоящую из 2-х освещаемых тусклым светом (30–40 лк) звукоизоляционных камер с принудительной приточной вентиляцией и подсветкой, в каждой из которых в гнездах стойки может быть размещено до пяти боксов (25 x 35,5 x 34 см) из прозрачного оргстекла. В гнезде стойки для каждого бокса находятся 3 фотодатчика на высоте 5 см для измерения горизонтальной активности. Камеры подключены к компьютеру, и с помощью программного обеспечения MED-PC (MED Associates, Inc., East Fairfield, VT, США) производится регистрация последовательного перекрывания фотодатчиков нижнего. Длительность теста составляла 60 минут (12 пятиминутных интервалов).

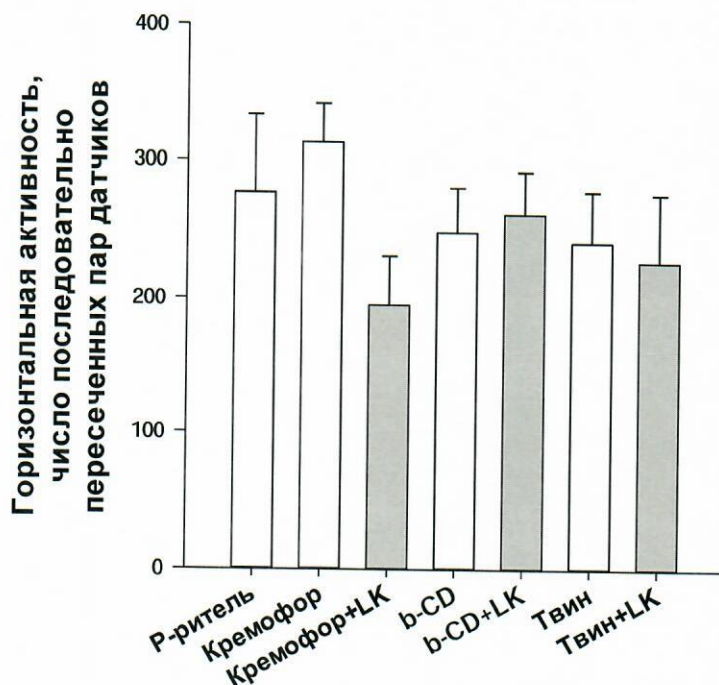
Ранее данная установка была использована в отделе психофармакологии для выполнения ряда исследований (Dravolina et al., 2006; Chistyakov et al., 2010; Radchenko et

al., 2015; Belozertseva et al., 2016; Piotrovskiy et al., 2016; Белозерцева и соавт., 2016, 2017; Sukhanov et al., 2018, 2019).

### 2.3.2.3 Результаты

В соответствие с предшествующими работами введение NMDA антагониста приводило к повышению двигательной активности. Уровень горизонтальной двигательной активности (число последовательно пересечённых пар датчиков) крыс из в группы 1, которым ввели 0,9% изотонический раствор NaCl и MK-801 в дозе 0,1 мг/кг, составлял примерно  $277,3 \pm 55,91$  за час.

Как можно видеть на рисунке 26 введение любого из растворителей (10% раствора кремофора, 3,2% раствора бета-циклодекстрина, 10% раствора Tween 80) не влияло на эффекты MK-801, уровни горизонтальной двигательной активности за час составляли:  $313,1 \pm 28,35$ ;  $248,5 \pm 32,56$  и  $241,5 \pm 37,34$ , соответственно. Также нам не удалось обнаружить существенного угнетающего действия LK00764 160 мг/кг ни в одном из протестированных растворителей (10% раствора кремофора, 3,2% раствора бета-циклодекстрина, 10% раствора Tween 80): уровни горизонтальной двигательной активности за час составляли:  $195,1 \pm 36,15$ ;  $262,3 \pm 30,46$  и  $227,3 \pm 49,70$ , соответственно.



**Рисунок 26.** Уровень двигательной активности крыс, находящихся под действием MK-801 (0,1 мг/кг, в/б), после введения различных вариантов растворов LK00764 160 мг/кг, п/о.

При статистической обработке дисперсионный анализ на данных после ранговых преобразований с двумя межгрупповыми факторами, установлено отсутствие статистически значимого влияния межгрупповых факторов «тип растворителя» ( $F(4,44)=0,40$ ,  $p=0,81$ ) и «LK00764/растворитель» ( $F(1,47)=2,39$ ,  $p=0,13$ ), а также их взаимодействия ( $F(2,33)=1,16$ ,  $p=0,33$ ).

#### **2.3.2.4 Выводы**

Пероральное введение растворов LK00764 ни в одном из протестированных растворителей не сопровождалось снижением стимулированной двигательной активности крыс.

## **2.4 Исследование активности новых выявленных агонистов TAAR1 в физиологических тестах *in vivo***

### **2.4.1 Острое внутрибрюшинное введение LK1932A, AP163 и DS16 для оценки их действия на модели двигательной гиперактивности у крыс, нокаутных по гену DAT**

#### **2.4.1.1 Обоснование исследования**

Дофаминовый транспортёр (dopamine transporter, DAT), обеспечивающий обратный захват дофамина из синаптической щели в пресинаптический нейрон, является одним из ключевых белков дофаминергической нейропередачи. В 2018 году с помощью метода редактирования генома с использованием нуклеаз с «цинковыми пальцами» (zinc fingers) были созданы крысы, нокаутные по гену DAT (DAT knockout, DAT-KO). Такие крысы характеризуются высокой внеклеточной концентрацией дофамина в полосатом теле, а также характерным фенотипом: в первую очередь для DAT-KO крыс свойственна выраженная двигательная гиперактивность по сравнению с особями «дикого типа» (wild type, WT) (Leo et al., 2018; Reinwald et al., 2022). Ранее показано, что агонисты TAAR1 способны снижать двигательную гиперактивность DAT-KO животных (Revel et al., 2011; Leo et al., 2018).

Целью настоящего исследования было оценить влияние LK1932A, а также выявленных ранее соединений AP163 и DS16 на двигательную активность DAT-KO крыс при внутрибрюшинном введении.

#### **2.4.1.2 Материалы и методы исследования**

##### **Экспериментальные животные**

В данном эксперименте использовали 40 самцов мышей линии C57Black. Животных содержали в соответствии с правилами использования лабораторных животных в научных исследованиях согласно рекомендациям Ассоциации специалистов по лабораторным животным (Guide for the Care and Use of Laboratory Animals). В данной работе использовались мыши из вивария Санкт-Петербургского государственного университета, содержащиеся группами в вентилируемых боксах при температуре  $22 \pm 1$  °C, относительной влажности воздуха 50-70% и 12-часовом цикле света/темноты (свет с 8 утра до 8 вечера), пище и воде ad libitum. За неделю до начала эксперимента животных рассаживали по одному в боксе. За 2 суток до эксперимента животных в течение 90 мин габитуировали в используемых для оценки двигательной активности локомоторных боксах. Животных использовали в эксперименте 2-3 раза с промежутком не менее 5 суток меняя экспериментальные группы.

## **Введение препаратов**

Животным интраперitoneально вводили растворы препаратов AP163 (15, 30 и 45 мг/кг), DS16 (30 мг/кг), LK1932 (15 и 30 мг/кг). Для того, чтобы вызвать увеличение двигательной активности вследствие дофаминергии животным интраперitoneально вводили GBR12909 (10 мг/кг) (Sigma, США) непосредственно после введения препаратов. В качестве растворителя использовали фосфатно-солевой буфер (NaCl 137 mM, KCl 2,7 mM, Na<sub>2</sub>HPO<sub>4</sub> 10 mM, KH<sub>2</sub>PO<sub>4</sub> 1,76 mM, pH 7,4) с 10% Tween-80 (K&M, Индия). Все используемые соединения растворяли таким образом, чтобы вводить 0,1 мл раствора на 25 г веса животных, растворитель также вводили 0,1 мл на 25 г веса животных.

## **Экспериментальные группы**

**Таблица 6.** Распределение животных по группам

№	Название группы	Кол-во животных (N)	GBR 12909	Вещество	Концентрация
1	Контроль негативный	12	-	Растворитель	-
2	Контроль позитивный	16	10 мг/кг	Растворитель	-
3	AP163-15 контроль	3	-	AP163	15 мг/кг
4	AP163-30 контроль	3	-	AP163	30 мг/кг
5	AP163-45 контроль	3	-	AP163	45 мг/кг
6	DS16-30 контроль	6	-	DS16	30 мг/кг
7	LK1932-15 контроль	4	-	LK1932	15 мг/кг
8	LK1932-30 контроль	4	-	LK1932	30 мг/кг
9	AP163-15 опыт	8	10 мг/кг	AP163	15 мг/кг
10	AP163-30 опыт	3	10 мг/кг	AP163	30 мг/кг
11	AP163-45 опыт	6	10 мг/кг	AP163	45 мг/кг
12	DS16-30 опыт	9	10 мг/кг	DS16	30 мг/кг
13	LK1932-15 опыт	3	10 мг/кг	LK1932	15 мг/кг
14	LK1932-30 опыт	6	10 мг/кг	LK1932	30 мг/кг

## **Оценка локомоторной активности животных**

Локомоторную активность оценивали непосредственно после введения препаратов в квадратных боксах 40x40 см в течение 90 мин. Видеозаписи поведения животных в teste анализировали при помощи программы EthoVision. Рассчитывали пройденное животными расстояние за 90 мин, а также за каждые 10 мин теста.

## **Измерение температуры животных**

Измерение температуры проводили при помощи ректального термометра (BioSeb) перед экспериментом ( $T_0$ ), а также после оценки двигательной активности (через ~100 мин после введения препаратов) ( $T_{100}$ )

## **Статистическая обработка полученных результатов**

Данные для групп контроль и GBR12909 из разных экспериментальных серий были объединены в общие выборки. Статистический анализ проводили при помощи программы GraphPad Prism 8. Для сравнения суммарной двигательной активности животных в teste в течение 90 мин после введения использовали двусторонний анализ дисперсии с множественным сравнением с использованием критерия Тьюки. Для сравнения двигательной активности животных в 10-мин интервалы использовали анализ смешанных эффектов в двустороннем анализе дисперсии с множественным сравнением с использованием критерия Тьюки. Сравнение выборок значений температуры тела животных разных групп при стресс-индуцированной гипертермии было проведено при помощи одностороннего дисперсионного анализа с множественным сравнением по критерию Сидака.

### **2.4.1.3 Результаты**

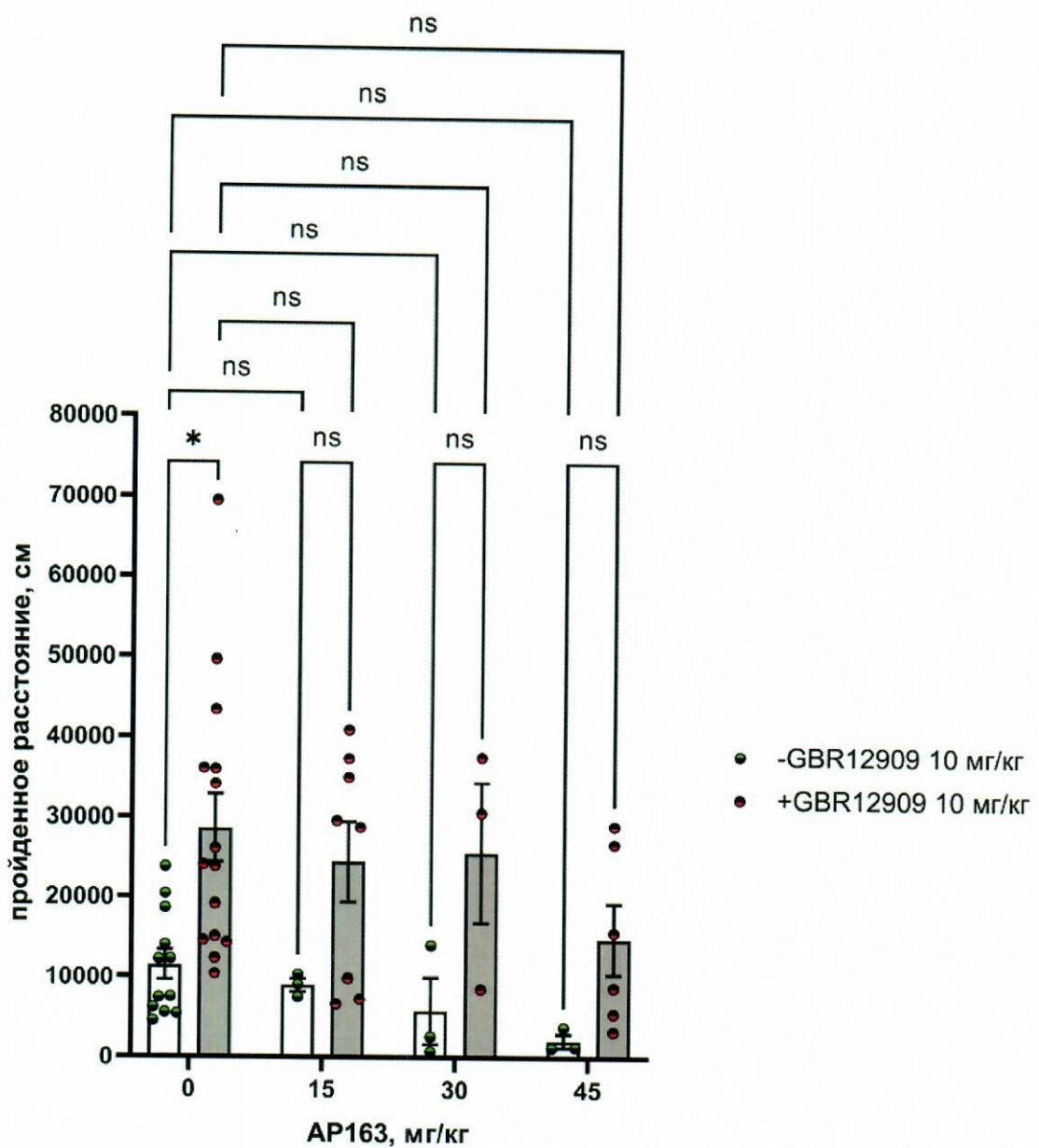
Интраперитонеальное введение 10 мг/кг GBR12909 вызывало увеличение локомоторной активности животных в 2,9 раза по сравнению с контрольной группой при оценке суммарной двигательной активности животных в течение 90 мин после введения ( $p<0.05$ ) (Рис. 27). Интраперитонеальное введение 15 мг/кг, 30 мг/кг и 45 мг/кг AP163 совместно с 10 мг/кг GBR12909 не вызывало изменения суммарной двигательной активности животных относительно группы GBR12909 в течение 90 мин после введения (Рис. 27). Одно животное погибло через 5 мин после введений по невыясненной причине.

Интраперитонеальное введение 10 мг/кг GBR12909 вызывало увеличение локомоторной активности животных в интервале 20 мин – 90 мин после введения относительно группы контроль ( $p<0,05$ ). Введение 15 мг/кг AP163 совместно с 10 мг/кг GBR12909 не вызывало изменения двигательной активности животных относительно группы GBR12909 в течение на всех 10-минутных промежутках после введения (Рис. 28).

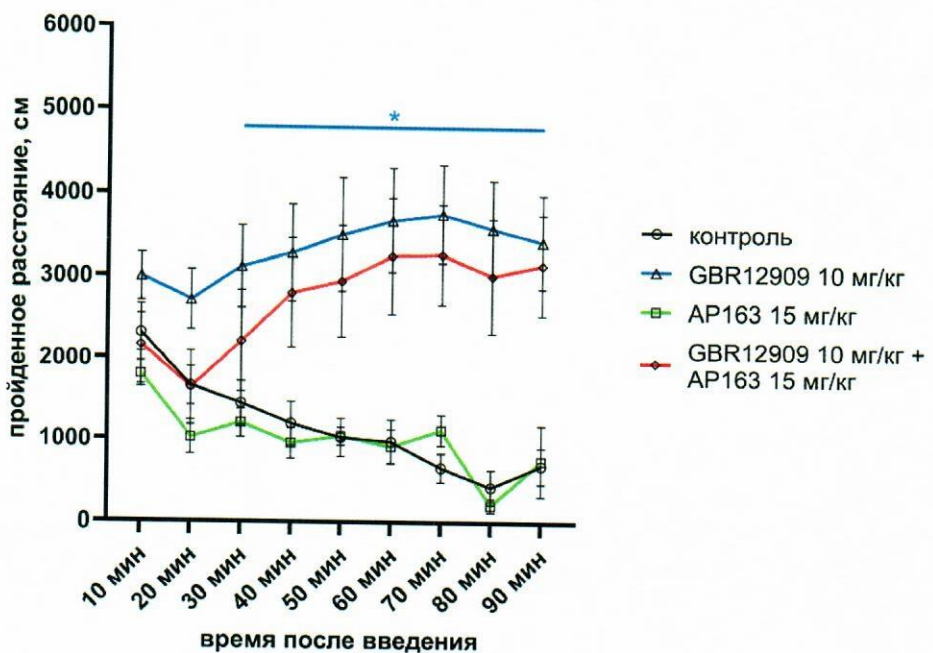
Интраперитонеальное введение 10 мг/кг GBR12909 вызывало увеличение локомоторной активности животных в интервале 20 мин – 90 мин после введения относительно группы контроль ( $p<0,05$ ). 45 мг/кг AP163 вызывало уменьшение

двигательной активности животных относительно группы GBR12909 в промежутке 0 – 30 мин после введения ( $p<0,05$ ) (Рис. 29).

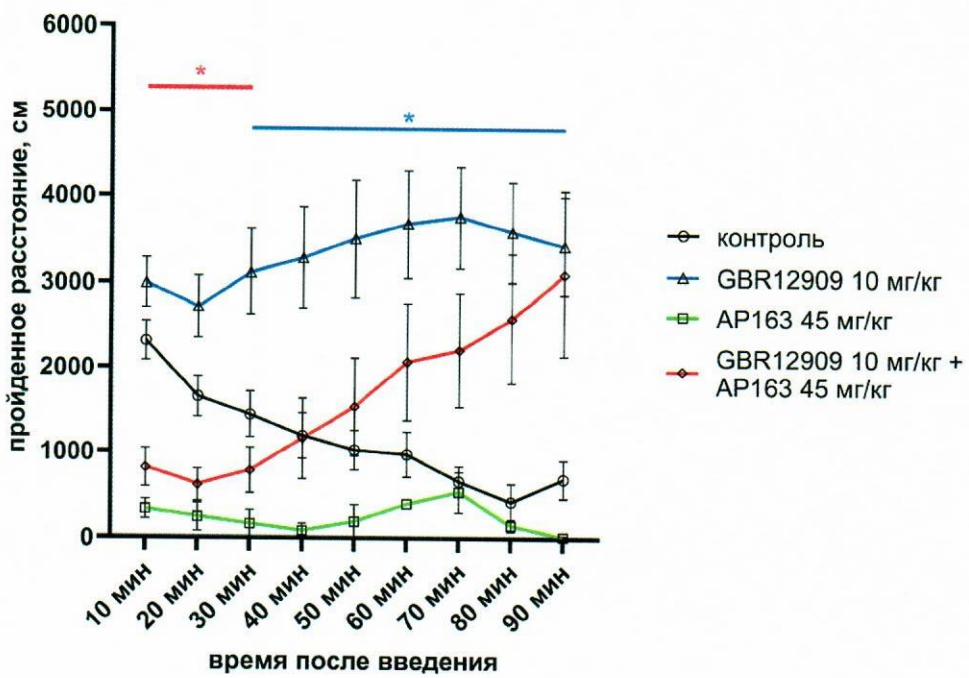
Таким образом, 45 мг/кг AP163 снижает вызываемое 10 мг/кг GBR12909 увеличение двигательной активности животных в течение 30 мин после введения.



**Рисунок 27.** Сравнение локомоторной активности в течение 90 мин групп: контроль (N=12), GBR12909 (N=16), AP163-15 (N=3), AP163-30 (N=3), AP163-45 (N=3), AP163-15+GBR (N=8), AP163-30+GBR (N=3), AP163-45+GBR (N=6). Данные представлены в виде среднего проходимого расстояния в см  $\pm$  SEM. \* -  $p<0,05$ .



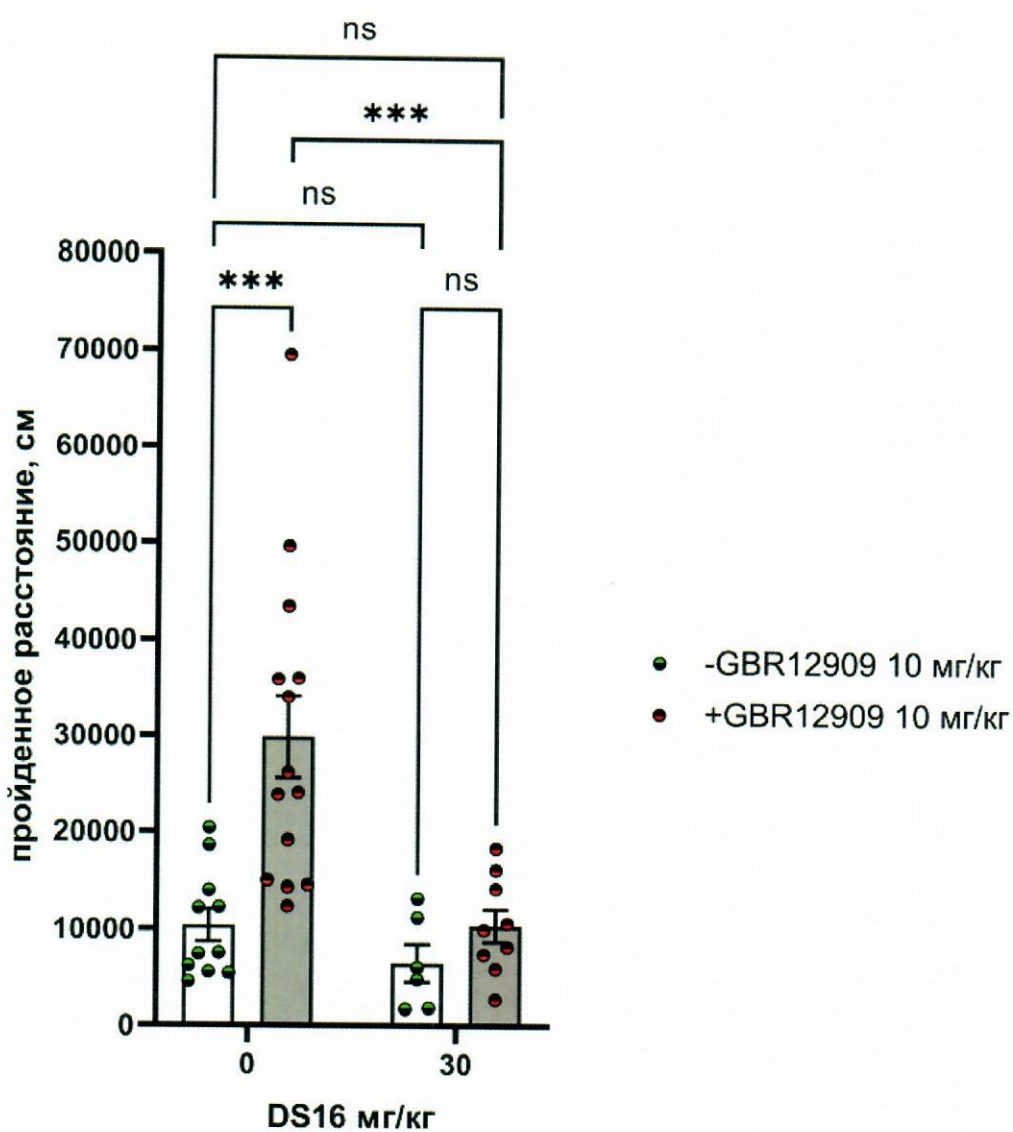
**Рисунок 28.** Сравнение локомоторной активности в течение 10-минутных интервалов 90 мин тесте групп: контроль (N=12), GBR12909 (N=16), AP163-15 (N=3), AP163-15+GBR (N=8). Данные представлены в виде среднего пройденного расстояния в см  $\pm$  SEM. \* -  $p < 0,05$  (синий – отличие между группами контроль и GBR12909).



**Рисунок 29.** Сравнение локомоторной активности в течение 10-минутных интервалов 90 мин тесте групп: контроль (N=12), GBR12909 (N=16), AP163-45 (N=3), AP163-45+GBR (N=6). Данные представлены в виде среднего пройденного расстояния в см  $\pm$  SEM. \* -  $p < 0,05$  (синий – отличие между группами контроль и GBR12909, красный – отличие между группами GBR12909 и AP163-45+GBR).

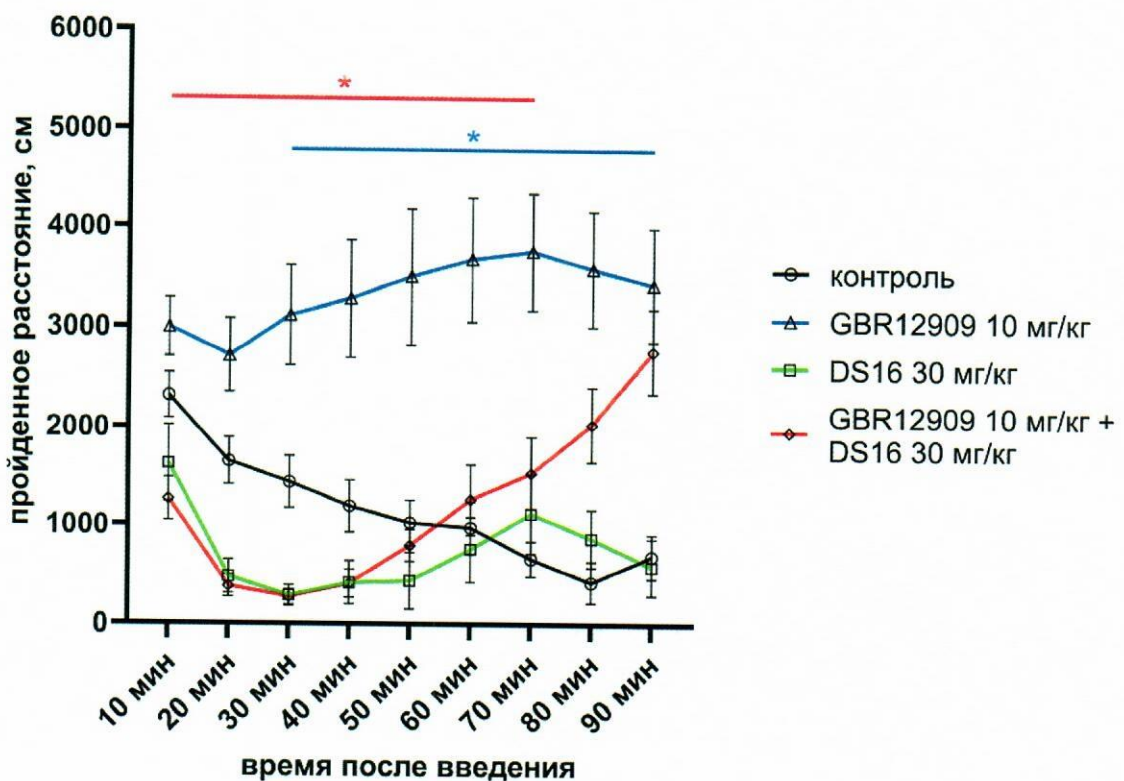
## Влияние DS16 на вызываемую GBR12909 гиперактивность мышей линии C57Black

Инtrapеритонеальное введение 10 мг/кг GBR12909 вызывало увеличение локомоторной активности животных в 2,9 раза по сравнению с контрольной группой при оценке суммарной двигательной активности животных в течение 90 мин после введения ( $p<0,001$ ) (Рис. 30). Инtrapеритонеальное введение 30 мг/кг DS16 совместно с 10 мг/кг GBR12909 вызывало уменьшение суммарной двигательной активности животных относительно группы GBR12909 в 2,9 раза в течение 90 мин после введения ( $p<0,001$ ) (Рис. 30).



**Рисунок 30.** Сравнение локомоторной активности в течение 90 мин групп: контроль (N=12), GBR12909 (N=16), DS16-30 (N=6), DS16-30+GBR (N=9). Данные представлены в виде среднего пройденного расстояния в см  $\pm$  SEM. \*\*\* -  $p<0,001$ .

Инtrapеритонеальное введение 10 мг/кг GBR12909 вызывало увеличение локомоторной активности животных в интервале 20 мин – 90 мин после введения относительно группы контроль ( $p<0,05$ ). 30 мг/кг DS16 вызывало уменьшение двигательной активности животных относительно группы GBR12909 в промежутке 0 – 70 мин после введения ( $p<0,05$ ) (Рис. 31).

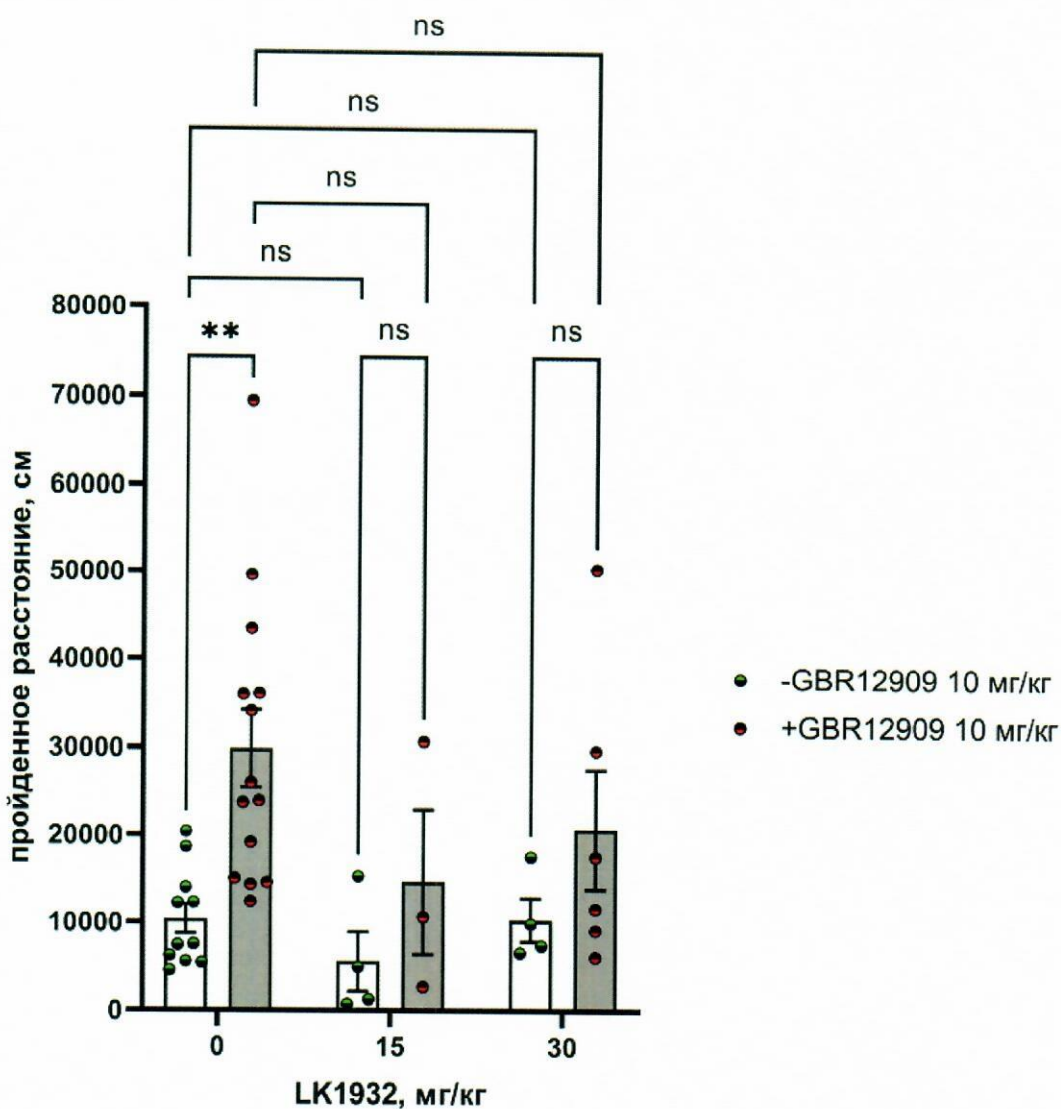


**Рисунок 31.** Сравнение локомоторной активности в течение 10-минутных интервалов 90 мин тесте групп: контроль ( $N=12$ ), GBR12909 ( $N=16$ ), DS16-30 ( $N=6$ ), DS16-30+GBR ( $N=9$ ). Данные представлены в виде среднего пройденного расстояния в см  $\pm SEM$ . \* -  $p<0,05$  (синий – отличие между группами контроль и GBR12909, красный – отличие между группами GBR12909 и DS16-30+GBR).

Таким образом, 45 мг/кг AP163 снижает вызываемое 10 мг/кг GBR12909 увеличение двигательной активности животных в течение 70 мин после введения.

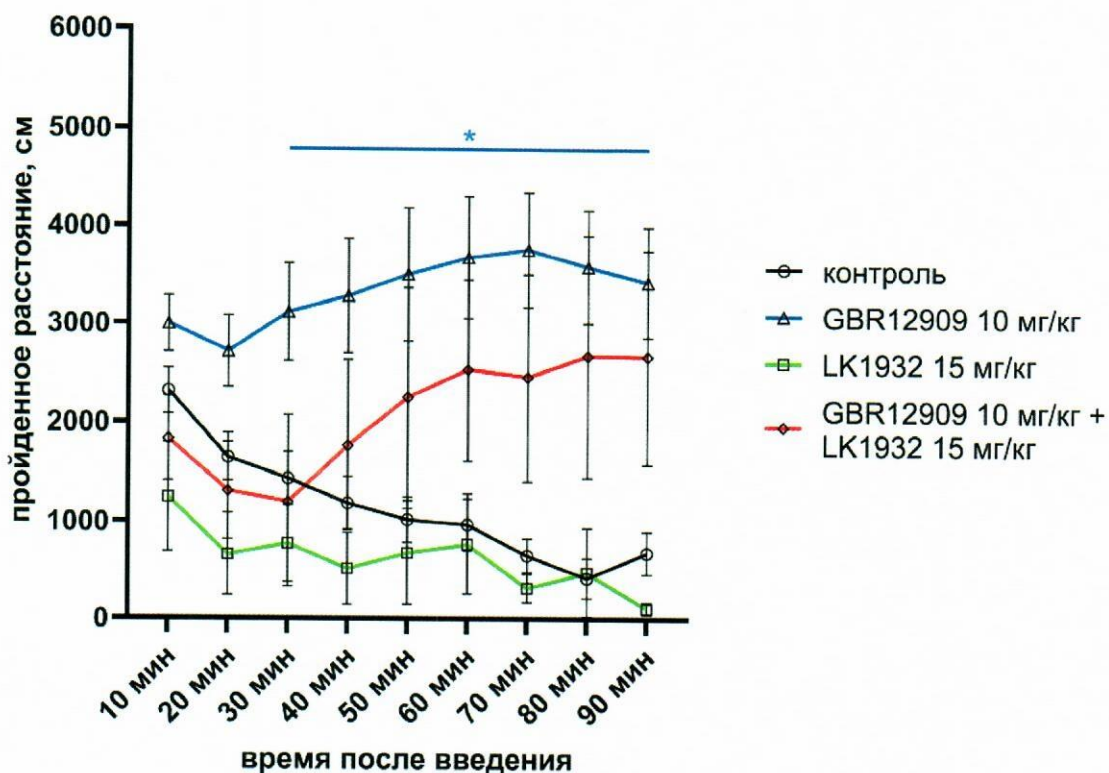
## Влияние LK1932 на вызываемую GBR гиперактивность мышей линии C57Black

Инtrapеритонеальное введение 10 мг/кг GBR12909 вызывало увеличение локомоторной активности животных в 2,9 раза по сравнению с контрольной группой при оценке суммарной двигательной активности животных в течение 90 мин после введения ( $p<0,01$ ) (Рис. 32). Инtrapеритонеальное введение 15 мг/кг и 30 мг/кг LK1932 совместно с 10 мг/кг GBR12909 не вызывало изменения суммарной двигательной активности животных относительно группы GBR12909 в течение 90 мин после введения (Рис. 32).



**Рисунок 32.** Сравнение локомоторной активности в течение 90 мин групп: контроль (N=12), GBR12909 (N=16), LK1932-15 (N=4), LK1932-30 (N=4), LK1932-15+GBR (N=3), LK1932-15+GBR (N=3), LK1932-30+GBR (N=6). Данные представлены в виде среднего пройденного расстояния в см  $\pm$  SEM. \*\* -  $p<0,01$ .

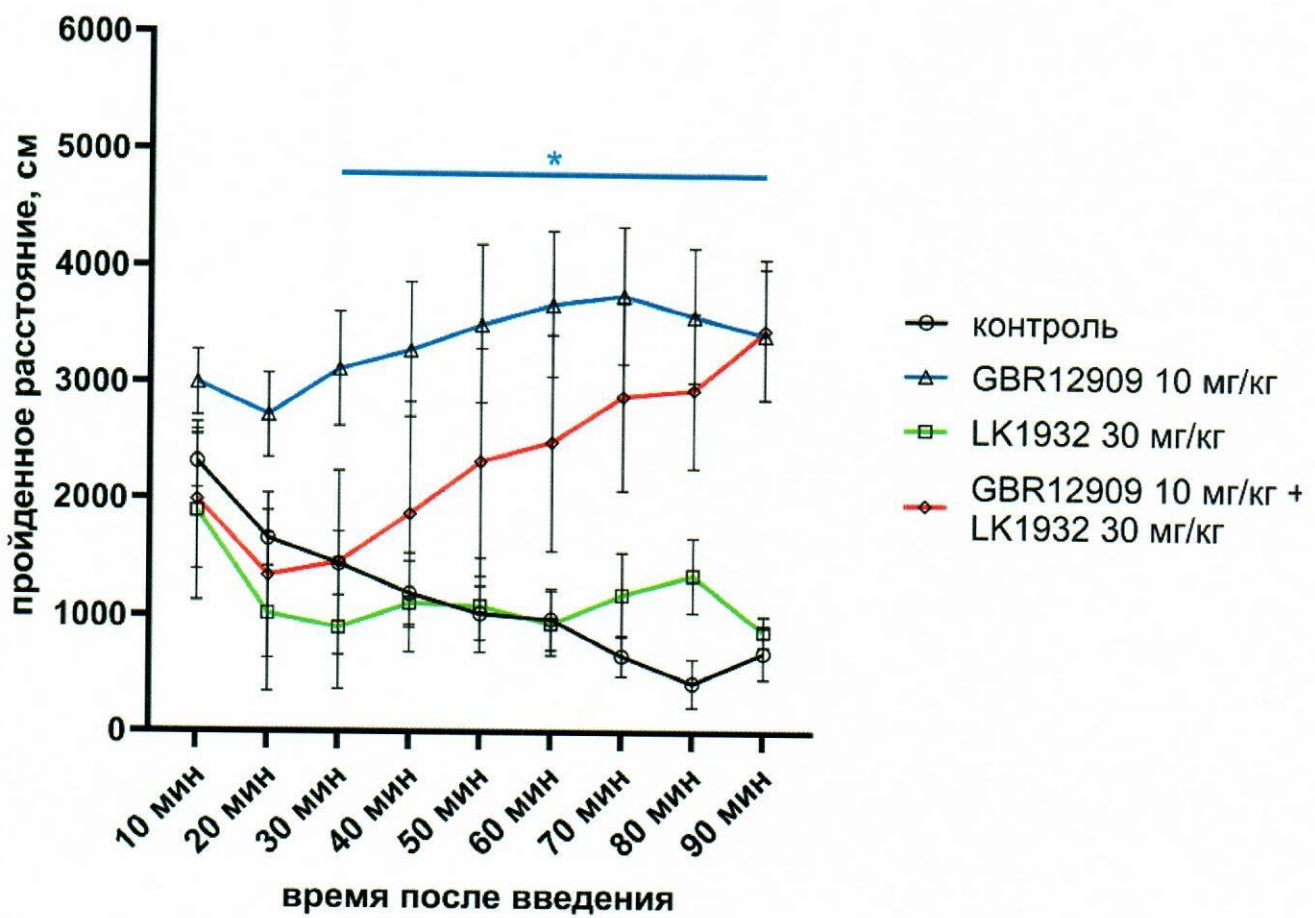
Инtrapеритонеальное введение 10 мг/кг GBR12909 вызывало увеличение локомоторной активности животных в интервале 20 мин – 90 мин после введения относительно группы контроль ( $p<0,05$ ). Введение 15 мг/кг LK1932 совместно с 10 мг/кг GBR12909 не вызывало изменения двигательной активности животных относительно группы GBR12909 в течение на всех 10-минутных промежутках после введения (Рис. 33).



**Рисунок 33.** Сравнение локомоторной активности в течение 10-минутных интервалов 90 мин тесте групп: контроль ( $N=12$ ), GBR12909 ( $N=16$ ), LK1932-15 ( $N=4$ ), LK1932-15+GBR ( $N=3$ ). Данные представлены в виде среднего пройденного расстояния в см  $\pm$  SEM. \* -  $p<0,05$  (синий – отличие между группами контроль и GBR12909).

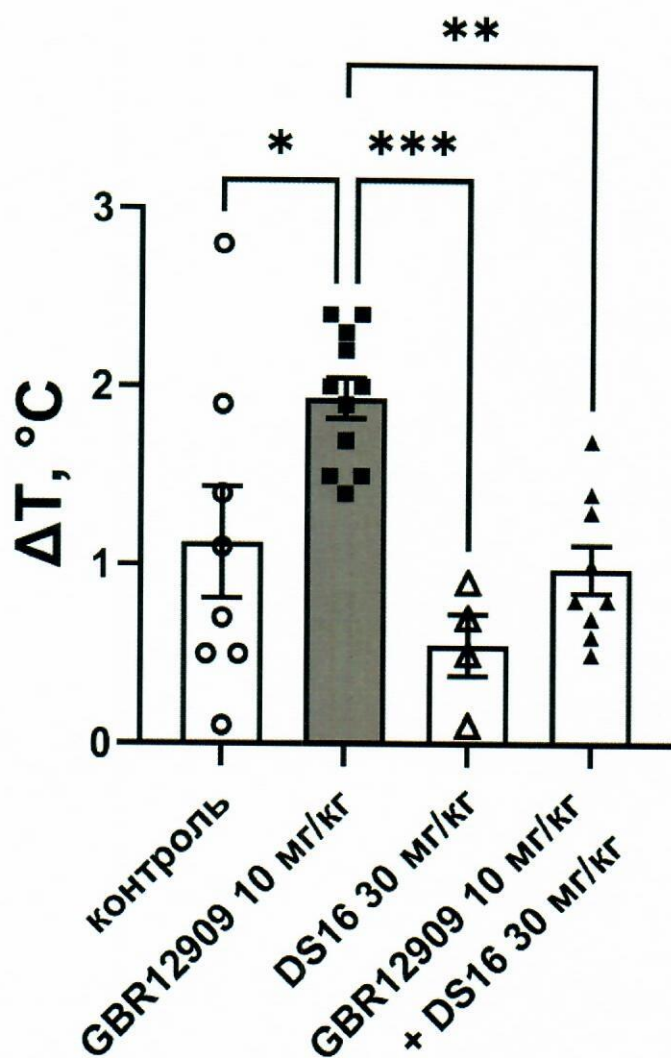
Инtrapеритонеальное введение 10 мг/кг GBR12909 вызывало увеличение локомоторной активности животных в интервале 20 мин – 90 мин после введения относительно группы контроль ( $p<0,05$ ). Введение 30 мг/кг LK1932 совместно с 10 мг/кг GBR12909 не вызывало изменения двигательной активности животных относительно группы GBR12909 в течение на всех 10-минутных промежутках после введения (Рис. 34).

Таким образом, LK1932 в дозах 15 мг/кг и 30 мг/кг не оказывал влияния на вызываемое 10 мг/кг GBR12909 увеличение двигательной активности животных. Также выявлено воздействие DS16 на стресс-индуцированную гипертермию животных (Рис. 35).



**Рисунок 34.** Сравнение локомоторной активности в течение 10-минутных интервалов 90 мин тесте групп: контроль (N=12), GBR12909 (N=16), LK1932-30 (N=4), LK1932-30+GBR (N=6). Данные представлены в виде среднего пройденного расстояния в см  $\pm$  SEM. \* -  $p < 0,05$  (синий – отличие между группами контроль и GBR12909).

**Влияние DS16 и GBR12909 на выраженность стресс-индуцированной гипертермии мышей линии C57Black**



**Рисунок 35.** Различие между температурой тела мышей до эксперимента и через 100 мин после введений 10 мг/кг GBR12909 и 30 мг/кг DS16. Сравнение групп: контроль (N=9), GBR12909 (N=11), DS16-30 (N=4), DS16-30+GBR (N=9). Данные представлены в виде среднего значения  $\Delta T^{\circ}\text{C} \pm \text{SEM}$ . \* -  $p < 0,05$ ; \*\* -  $p < 0,01$ ; \*\*\* -  $p < 0,001$ .

#### 2.4.1.4 Выводы

Применение AP163 подтвердило ранние исследования, при этом новая итерация соединения (DS16) показала высокую активность. Препарат LK1932A не показал активности в выбранных тестах и на данный момент не рассматривается для продвижения в исследования по пероральному введению.

## **2.4.2 Острое интрагастральное введение AP163 и DS16 для оценки его действия на модели двигательной гиперактивности, вызванной DAT-ингибитором GBR-12909**

### **2.4.2.1 Обоснование исследования**

Дофаминовый транспортёр (dopamine transporter, DAT), обеспечивающий обратный захват дофамина из синаптической щели в пресинаптический нейрон, является одним из ключевых белков дофаминергической нейропередачи (Leo et al., 2018). Введение ингибиторов DAT, кокаина, амфетамина, GBR12909, приводит к увеличению двигательной активности у крыс и мышей (Stanhope et al., 2001; Sukhanov et al., 2016; Lam et al., 2018; Bastos et al., 2018). Животные под действием ингибиторов DAT широко используются как тест-система для скрининга новых веществ с антипсихотическим действием, так как введение фармакологических агентов, блокирующих D2-подобные рецепторы к дофамину, сопровождается снижением гиперактивности у крыс и мышей.

Целью настоящего исследования было оценить влияние фармакологических агентов DS16 и AP163 на двигательную активность мышей, находящихся под действием GBR12909, при пероральном введении.

### **2.4.2.2 Материалы и методы исследования**

#### **Животные**

Эксперименты выполнены на самцах белых беспородных мышей ( $n=40$ ) возрастом — 2 месяца из НИЦ «Курчатовский институт» — ПИЯФ (Всеволожский район, Ленинградская область, д. Рапполово). Мышей содержали в группах сиблиングов (11 особей) в клетках ТПН (Tecniplast, Италия) со свободным доступом к фильтрованной водопроводной воде (Водоочиститель АКВАФОР В150 Фаворит, Санкт-Петербург, Россия) и пище (полнорационный экструдированный корм для лабораторных животных, ИП Курицын Игорь Константинович, Россия, г. Саратов) в помещении #3-9 с контролируемыми условиями: температура воздуха —  $21\pm1^{\circ}\text{C}$ ; влажность —  $50\pm20\%$ ; световой цикл — 12 ч. свет/ 12 ч. Темнота. После окончания эксперимента эвтаназию животных выполняли в камере с CO<sub>2</sub>.

#### **Вещества**

Растворы веществ приготавливали непосредственно в день выполнения тестов и вводили в/б (GBR12909, 10 мг/кг, растворитель — раствор Tween 80 1% в фосфатном буфере (предоставлен заказчиком)) или п/о (DS16 и AP163, 10 мг/кг, растворитель — раствор, содержащий 10% (по массе) Tween 80 и 10% ДМСО (по массе) в дистиллированной воде) в объёме 10 мл/кг (в соответствии с рекомендациями Спонсора исследования). Все

вещества или их растворители вводили за 30 минут до помещения животных в экспериментальную установку.

### **Экспериментальные процедуры**

#### **Дизайн исследований**

Проведено 3 эксперимента, во всех использован between-subject дизайн (таблица 7).

**Таблица 7.** Дизайн исследования

Экспер. #	Группа	GBR12909/Растворитель	DS16/AP163/Растворитель
1	Контрольная	Растворитель	—
	Экспериментальная	GBR12909	—
2	Контрольная	GBR12909	Растворитель
	Экспериментальная	GBR12909	DS16
3	Контрольная	GBR12909	Растворитель
	Экспериментальная	GBR12909	AP163

#### **Экспериментальная установка**

Для регистрации двигательной активности мышей использовали выполненную по заказу установку «Актометр», состоящую из 2-х освещаемых тусклым светом (30–40 лк) звукоизоляционных камер с принудительной приточной вентиляцией и подсветкой, в каждой из которых в гнездах стойки может быть размещено до пяти боксов (25 x 35,5 x 34 см) из прозрачного оргстекла. В гнезде стойки для каждого бокса находятся 3 фотодатчика на высоте 5 см для измерения горизонтальной активности и 8 датчиков на высоте 14 см — для измерения вертикальной активности. Камеры подключены к компьютеру, и с помощью программного обеспечения MED-PC (MED Associates, Inc., East Fairfield, VT, США) производится регистрация перекрываний фотодатчиков нижнего (отдельно - последовательные пересечения) и верхнего рядов. Использовали 2 камеры установки, при этом распределение животных каждой экспериментальной группы по камерам было сбалансировано. Длительность нахождения животных в установке составляла 30 (Эксперимент 1) или 60 минут (Эксперименты 2 и 3). Сессии были автоматически разделены на 6 или 12 пятиминутных интервалов.

Ранее данная установка была использована в отделе психофармакологии для выполнения ряда исследований (Dravolina et al., 2006; Chistyakov et al., 2010; Radchenko et al., 2015; Belozertseva et al., 2016; Piotrovskiy et al., 2016; Белозерцева и соавт., 2016, 2017; Sukhanov et al., 2018, 2019).

## **Регистрируемые показатели поведения**

Показатели горизонтальной двигательной активности:

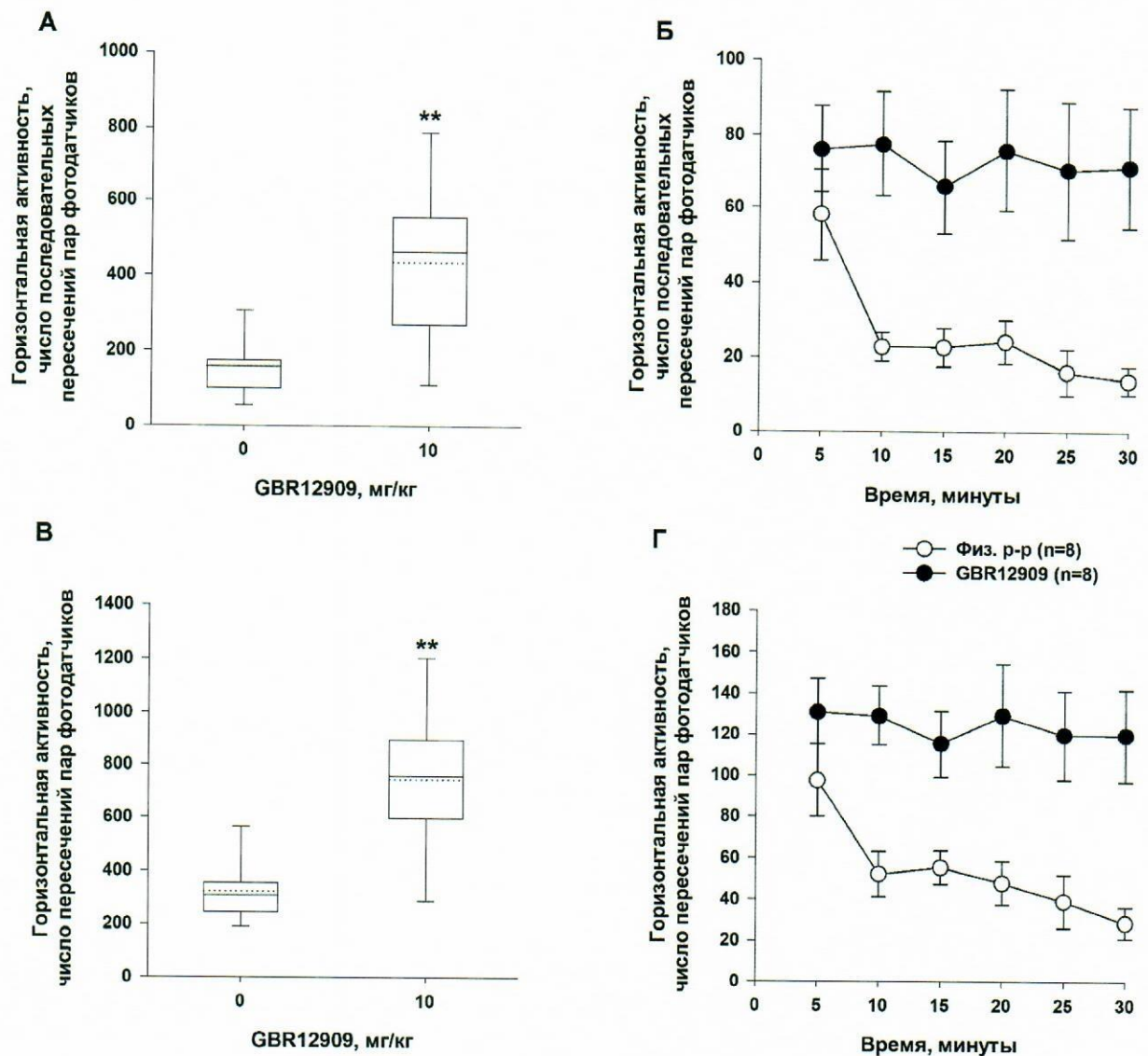
- Количество последовательных перекрываний датчиков нижнего ряда;
- Количество перекрываний датчиков нижнего ряда.

## **Статистический анализ**

Для статистической обработки использовали программу SigmaPlot 12.5 (Systat Software, Inc, Калифорния, США) и пакет статистических программ IBM SPSS Statistics 21 (IBM, Нью-Йорк, США). В соответствии с рекомендациями по статистической обработки данных малых выборок для анализа использовали непараметрические методы тест Манна — Уитни и дисперсионный анализ смешанного типа (случайные факторы: «номер мыши» и «номер локомоторного бокса», межгрупповой фактор «экспериментальная/контрольная группа» и внутригрупповой фактор «номер пятиминутного интервала») после рангового преобразования исходных результатов. Различия считали значимыми при  $P<0,05$ .

### **2.4.2.3 Результаты**

В Эксперименте 1 (как видно на Рисунке 36А и В) в полном соответствие с предшествующими результатами (Bastos et al., 2018) мыши после введения GBR12909 демонстрировали повышенный уровень горизонтальной активности по сравнению с животными, получившими инъекцию растворителя (тест Манна — Уитни:  $P<0,01$ ). При анализе изменений эффектов GBR12909 во времени (Рисунок 36Б и Г) видно, что в первые пять минут животные контрольной и экспериментальной группы показывают близкий уровень горизонтальной двигательной активности, но затем двигательная активность мышей, получивших растворитель, уменьшается, а животных под действием GBR12909 остаётся примерно на одном уровне. При проведении дисперсионного анализа нам удалось подтвердить различия между контрольной и экспериментальной группами (число последовательных пересечений пар фотодатчиков —  $F(1,13)=15,11$ ,  $P=0,002$ ; число пересечений пар фотодатчиков —  $F(1,14)=19,47$ ,  $P=0,001$ ). Также статистически значимым было влияние фактора «номер пятиминутного интервала» (число последовательных пересечений пар фотодатчиков —  $F(5,18)=3,39$ ,  $P=0,025$ ; число пересечений пар фотодатчиков —  $F(5,19)=2,98$ ,  $P=0,04$ ). Влияние взаимодействия двух этих факторов на горизонтальную активность было незначимым (число последовательных пересечений пар фотодатчиков —  $F(5,18)=1,34$ ,  $P=0,29$ ; число пересечений пар фотодатчиков —  $F(5,19)=1,50$ ,  $P=0,24$ ), поэтому дальнейшие попарные сравнения не проводили.

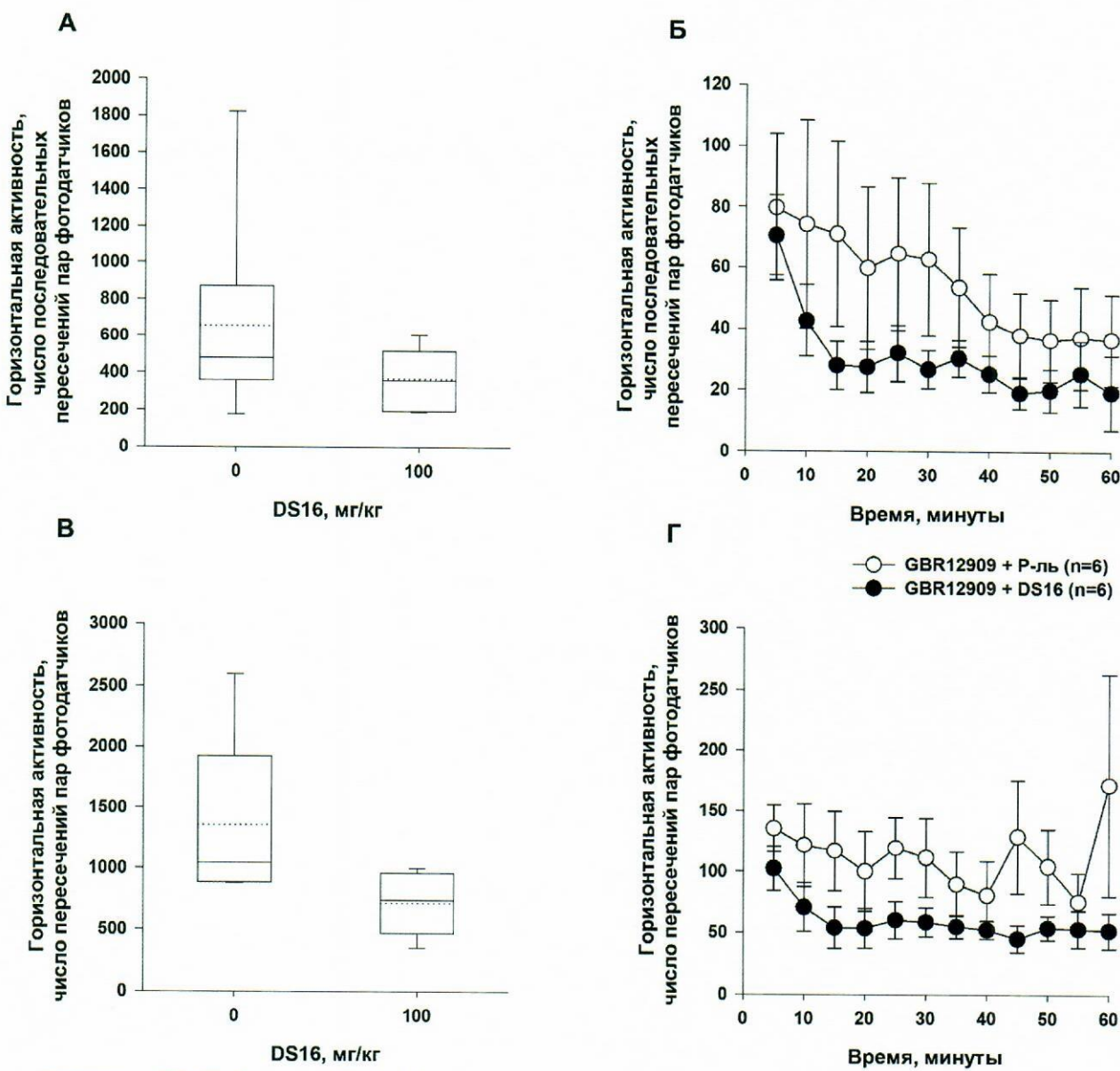


**Рисунок 36.** Действие GBR12909 10 мг/кг внутрибрюшно на горизонтальную двигательную активность мышей. Данные представлены в виде (А, В) средних  $\pm$  средняя ошибка средней или (Г и Д) блочных диаграмм — «яицков с усами», отражающих в центре яицков среднее значение (пунктирная линия) и медиану (сплошная линия); 25%/75% квартили (нижняя и верхняя кромки яицка), 10-й и 90-й процентили (нижняя и верхняя засечки усов). n=8 для каждой группы. \*\* — P<0,01, тест Манна — Уитни.

В Эксперименте 2 (как видно на Рисунке 37А и В), введение DS16 в дозе 100 мг/кг перорально снижало уровень горизонтальной двигательной активности у мышей, находящихся под действием GBR12909, относительно животных контрольной группы. Однако различия между мышами двух групп не достигли уровня статистической значимости (число последовательных пересечений пар фотодатчиков —  $P=0,49$ ; число пересечений пар фотодатчиков —  $P=0,13$ ). Горизонтальная двигательная активность мышей экспериментальной группы была ниже, чем у животных, получивших растворитель в комбинации с GBR12909, в течение всех 60 минут эксперимента (Рисунок 37Б и Г), но межгрупповые различия не достигли уровня статистической значимости (число последовательных пересечений пар фотодатчиков —  $F(1,10)=0,944$ ,  $P=0,36$ ), хотя нам удалось обнаружить статистический тренд в случае числа пересечений пар датчиков ( $F(1,11)=4,28$ ,  $P=0,06$ ). Статистически значимым было влияние фактора «номер пятиминутного интервала» (число последовательных пересечений пар фотодатчиков —  $F(11,15)=2,82$ ,  $P=0,03$ ; число пересечений пар фотодатчиков —  $F(11,14)=6,18$ ,  $P=0,001$ ). Влияние взаимодействия двух этих факторов на горизонтальную активность было незначимым (число последовательных пересечений пар фотодатчиков —  $F(11,15)=0,65$ ,  $P=0,76$ ; число пересечений пар фотодатчиков —  $F(11,14)=0,32$ ,  $P=0,97$ ), поэтому дальнейшие попарные сравнения не проводили.

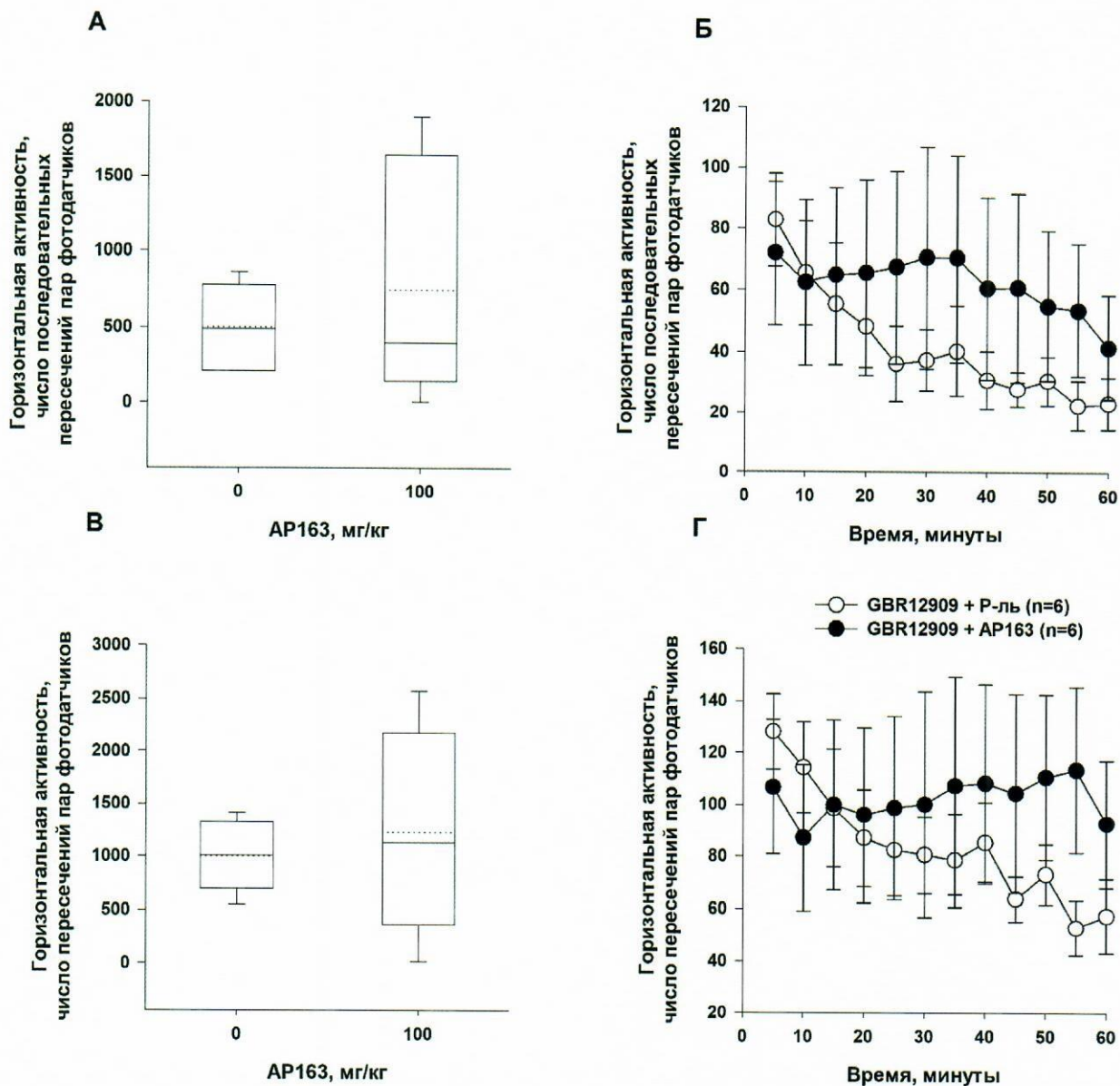
В Эксперименте 3 (как видно на Рисунке 38А и В), группа мышей, получивших AP163 в дозе 100 мг/кг перорально, характеризовалась очень большой гетерогенностью по уровню двигательной активности (число последовательных пересечений пар фотодатчиков за 60 минут: наименьшее значение — 7, наибольшее значение — 1901; число пересечений пар фотодатчиков за 60 минут: наименьшее значение — 18, наибольшее значение — 2567). Возможно, это связано с раздражающим действием AP163 на слизистую оболочку желудка (экспериментаторы не отмечали развития стереотипий у животных, поэтому маловероятно, что вещество обладает собственным стимулирующим действием на двигательную активность мышей). Различия между мышами двух групп не достигли уровня статистической значимости (число последовательных пересечений пар фотодатчиков —  $P=1,0$ ; число пересечений пар фотодатчиков —  $P=1,0$ ). Хотя средняя горизонтальная двигательная активность мышей экспериментальной группы была выше, чем у животных, получивших растворитель в комбинации с GBR12909, в течение 45–50 минут эксперимента (Рисунок 38Б и Г), но межгрупповые различия не достигли уровня статистической значимости (число последовательных пересечений пар фотодатчиков —  $F(1,9)=0,04$ ,  $P=0,845$ ; (число пересечений пар фотодатчиков —  $F(1,9)=0,12$ ,  $P=0,74$ ), и вероятнее связаны с гетерогенностью группы, описанной выше. Статистически значимым было влияние

фактора «номер пятиминутного интервала» (число последовательных пересечений пар фотодатчиков —  $F(11,13)=3,63$ ,  $P=0,02$ ; число пересечений пар фотодатчиков —  $F(11,13)=3,02$ ,  $P=0,03$ ). Влияние взаимодействия двух этих факторов на горизонтальную активность достигло уровня статистической значимости в случае числа пересечений пар фотодатчиков —  $F(11,13)=2,94$ ,  $P=0,04$ ; тест Бонферрони — n.s.), но не в случае числа последовательных пересечений пар фотодатчиков ( $F(11,13)=1,94$ ,  $P=0,76$ ).



**Рисунок 37.** Действие DS16 100 мг/кг перорально на горизонтальную двигательную активность мышей

Данные представлены в виде (A, B) средних  $\pm$  средняя ошибка средней или (Б и Г) блочных диаграмм — «ящиков с усами», отражающих в центре ящиков среднее значение (пунктирная линия) и медиану (сплошная линия); 25%/75% квартили (нижняя и верхняя кромки ящика), 10-й и 90-й процентили (нижняя и верхняя засечки усов).  $n=6$  для каждой группы.



**Рисунок 38.** Действие AP163 100 мг/кг перорально на горизонтальную двигательную активность мышей

Данные представлены в виде (А, В) средних  $\pm$  средняя ошибка средней или (Б и Г) блочных диаграмм — «яицков с усами», отражающих в центре яицков среднее значение (пунктирная линия) и медиану (сплошная линия); 25%/75% квартили (нижняя и верхняя кромки яицка), 10-й и 90-й процентили (нижняя и верхняя засечки усов). n=6 для каждой группы.

#### **2.4.2.4 Выводы**

Результаты полученных исследований указывают, что для дальнейшей разработки возможно использовать вещество DS16, введение которого сопровождалось снижением двигательной гиперактивности, вызванной введением GBR12209.

### **3 ЗАКЛЮЧЕНИЕ**

В результате научно-исследовательской работы разработан синтез библиотеки химических соединений – потенциальных агонистов TAAR1 на основе ранее разработанных ядер соединений замещенных (азациклоалкил)метокси-замещенных 2-(5-арил-4Н-1,2,4-триазол-3-ил)этанаминов, тетрагидробензо[*f*][1,4]оксазепинов.

Проведено *in vitro* тестирование активности потенциальных агонистов TAAR.

- c) Проверка способности к активации человеческого рецептора следовых аминов 1-го типа (hTAAR1) в тест-системе BRET.
- d) Проверка способности к активации человеческого рецептора следовых аминов 1-го типа (hTAAR1) в тест-системе NanoBiT.

В рамках исследований были определены 4 кандидата для исследований *in vivo*, на данный момент произвели оценку препарата LK1932A, а также двух ранее открытых вещества-кандидата AP163 и DS16.

Проведены дополнительные исследования активности LK00764 в физиологических тестах *in vivo* при интрагастральном введении. В рамках тестов по снижению гиперактивности у модельных животных пероральное введение LK00764 биологической активности не продемонстрировало.

Соединения LK1932A, AP163 и DS16 показали разный уровень эффективности при интраперитонеальном введении. На основании данных тестов было принято решение в выборе AP163 и DS16 в качестве кандидатов на тесты эффективности при интрагастральном введении *in vivo*.

DS16 продемонстрировал наибольший потенциал в химической модели гиперактивности, тем не менее, требуются дополнительные исследования дозо-зависимости на большем количестве животных.

#### **4 СПИСОК ИСПОЛЬЗОВАННЫХ ИСТОЧНИКОВ**

1. Белозерцева, И.В. Послеоперационные изменения поведения крыс, получавших анестезию севофлюраном / И.В. Белозерцева, О.А. Драволина, В.О. Кривов, М.А. Тур, Л.В. Мус, Ю.С. Полушкин // Вестник анестезиологии и реаниматологии. — 2017. — Т. 14, № 2. — С. 55–63.
2. Белозерцева, И.В. Экспериментальное моделирование послеоперационных когнитивных расстройств / И.В. Белозерцева, О.А. Драволина, В.О. Кривов, М.А. Тур, Ю.С. Полушкин // Вестник анестезиологии и реаниматологии. — 2016. — Т. 13, № 5. — С. 37–49.
3. Bastos, J.R. Inhibition of the dopamine transporter as an animal model of bipolar disorder mania: Locomotor response, neuroimmunological profile and pharmacological modulation [Text] / J.R. Bastos, K.M. Perico, É.L. Marciano Vieira, A.L. Teixeira, F.S. Machado, A.S. de Miranda, F.A. Moreira // J Psychiatr Res. — 2018. — Vol. 102. — P. 142–149.
4. Belozertseva, I.V. Morphine-induced Straub tail reaction in mice treated with serotonergic compounds / I.V. Belozertseva, O.A. Dravolina, M.A. Tur, M.G. Semina, E.E. Zvartau, A.Y. Bespalov // Eur. J. Pharmacol. — 2016. — Vol. 791. — P. 1–7.
5. Berry M.D. et al. Pharmacology of human trace amine-associated receptors: Therapeutic opportunities and challenges // Pharmacol Ther. — 2017. — Vol. 180. P. 161–180.
6. Berry M.D. Mammalian central nervous system trace amines. Pharmacologic amphetamines, physiologic neuromodulators // J Neurochem. — 2004. — Vol. 90, № 2. P. 257–271.
7. Borowsky B. et al. Trace amines: identification of a family of mammalian G protein-coupled receptors // Proceedings of the National Academy of Sciences of the United States of America — 2001. — Vol. 98, № 16. P. 8966–8971.
8. Caron M.G., Gainetdinov R.R. Dopamine: from pharmacology to molecular biology and back // Wiener klinische Wochenschrift. — 2006. — Vol. 118, № 19–20. P. 565–568.
9. Chistyakov V. Nicotine exposure throughout early development promotes nicotine self-administration in adolescent mice and induces long-lasting behavioural changes / V. Chistyakov, N. Patkina, A. Tammimäki, R. Talka, O. Salminen, I. Belozertseva, T. Galankin, R. Tuominen, E. Zvartau // Eur. J. Pharmacol. — 2010. — Vol. 640. — P. 87–93.
10. Dravolina, O. Group I metabotropic glutamate receptor antagonists attenuate the behavioral sensitization to motor effects of cocaine in rats [Text] / O. Dravolina, W. Danysz, A. Bespalov // Psychopharmacology (Berl). — 2006. — Vol. 187. — P. 397–404.

11. Gainetdinov R.R., Hoener M.C., Berry M.D. Trace Amines and Their Receptors // *Pharmacol Rev.* – 2018. – Vol. 70, № 3. P. 549–620.
12. Galley G. et al. Discovery and Characterization of 2-Aminooxazolines as Highly Potent, Selective, and Orally Active TAAR1 Agonists // *ACS Med Chem Lett.* – 2016. – Vol. 7, № 2. P. 192–197.
13. Galley G. et al. Optimisation of imidazole compounds as selective TAAR1 agonists: discovery of RO5073012 // *Bioorg Med Chem Lett.* – 2012. – Vol. 22, № 16. P. 5244–5248.
14. Guariento S. et al. Rational design, chemical synthesis and biological evaluation of novel biguanides exploring species-specificity responsiveness of TAAR1 agonists // *Eur J Med Chem.* – 2018. – Vol. 146. P. 171–184.
15. Koblan K.S. et al. A Non-D2-Receptor-Binding Drug for the Treatment of Schizophrenia // *N Engl J Med.* – 2020. – Vol. 382, № 16. P. 1497–1506.
16. Krasavin M. et al. Discovery of Trace Amine Associated Receptor 1 (TAAR1) Agonist 2-(5-(4'-Chloro-[1,1'-biphenyl]-4-yl)-4H-1,2,4-triazol-3-yl)ethan-1-amine (LK00764) for the Treatment of Psychotic Disorders // *Biomolecules.* – 2022. – Vol. 12, № 11. P. 1650.
17. Lam, V.M. Behavioral Effects of a Potential Novel TAAR1 Antagonist [Text] / V.M. Lam, C.A. Mielnik, C. Baimel, P. Beerepoot, S. Espinoza, I. Sukhanov, W. Horsfall, R.R. Gainetdinov, S.L. Borgland, A.J. Ramsey, A. Salahpour // *Front Pharmacol.* — 2018. — Vol. 4. №9. — A. 953.
18. Leo D. et al. Taar1-mediated modulation of presynaptic dopaminergic neurotransmission: Role of D2 dopamine autoreceptors // *Neuropharmacology.* – 2014. – Vol. 81. P. 283–291.
19. Leo, D. Pronounced Hyperactivity, Cognitive Dysfunctions, and BDNF Dysregulation in Dopamine Transporter Knock-out Rats [Text] / D. Leo, I. Sukhanov, F. Zoratto, P. Illiano, L. Caffino, F. Sanna, G. Messa, M. Emanuele, A. Esposito, M. Dorofeikova, E.A. Budygin, L. Mus, E.V. Efimova, M. Niello, S. Espinoza, T.D. Sotnikova, M.C. Hoener, G. Laviola, F. Fumagalli, W. Adriani, R.R. Gainetdinov // *J Neurosci.* — 2018. — Vol. 38, №8. — P. 1959–1972.
20. Liberles S.D., Buck L.B. A second class of chemosensory receptors in the olfactory epithelium // *Nature* – 2006. – Vol. 442, № 7103. P. 645–650.
21. Piotrovskiy, L.B. Enhanced brain penetration of hexamethonium in complexes with derivatives of fullerene C60 [Text] / L.B. Piotrovskiy, E.V. Litasova, M.A. Dumpis, D.N. Nikolaev, E.E. Yakovleva, O.A. Dravolina, A.Y. Bespalov // *Dokl. Biochem. Biophys.* — 2016. — Vol. 468, №1. — P. 173–175.

22. Radchenko, E.V. Agonist and antagonist effects of cytisine in vivo [Text] / E.V. Radchenko, O.A. Dravolina, A.Y. Bespalov // Neuropharmacology. — 2015. — Vol. 95. — P. 206–214.
23. Reinwald, J.R. Dopamine transporter silencing in the rat: systems-level alterations in striato-cerebellar and prefrontal-midbrain circuits [Text] / J.R. Reinwald, N. Gass, A.S. Mallien, A. Sartorius, R. Becker, M. Sack, C. Falfan-Melgoza, C. Clemm von Hohenberg, D. Leo, N. Pfeiffer, A. Middelman, A. Meyer-Lindenberg, J.R. Homberg, W. Weber-Fahr, P. Gass // Mol Psychiatry. — 2022. — Vol. 27, №4. — P. 2329-2339.
24. Revel, F.G. TAAR1 activation modulates monoaminergic neurotransmission, preventing hyperdopaminergic and hypoglutamatergic activity [Text] / F.G. Revel, J.-L. Moreau, R.R. Gainetdinov, A. Bradaia, T.D. Sotnikova, R. Mory, S. Durkin, K.G. Zbinden, R. Norcross, C.A. Meyer, V. Metzler, S. Chaboz, L. Ozmen, G. Trube, B. Pouzet, B. Bettler, M.G. Caron, J.G. Wettstein, M.C. Hoener // Proceedings of the National Academy of Sciences. — 2011. — V. 108, №20. — P. 8485–8490.
25. Stanhope, K.J., The muscarinic receptor agonist xanomeline has an antipsychotic-like profile in the rat [Text] / K.J. Stanhope, N.R. Mirza, M.J. Bickerdike, J.L. Bright, N.R. Harrington, G.A. Hesselink, M.B. Kennett, S. Lightowler, M.J. Sheardown, R. Syed, R.L. G. Upton, S.M. Wadsworth, S.M. Weiss, A. Wyatt // J Pharmacol Exp Ther. — 2001. — Vol. 299, №2. — P. 782–792.
26. Sukhanov, I. Activation of trace amine-associated receptor 1 attenuates schedule-induced polydipsia in rats [Text] / I. Sukhanov, A. Dorotenko, A. Dolgorukova, M.C. Hoener, R.R. Gainetdinov, A.Y. Bespalov // Neuropharmacology. — 2019. — Vol. 144. — P. 184–192.
27. Sukhanov, I. Increased context-dependent conditioning to amphetamine in mice lacking TAAR1 [Text] / I. Sukhanov, L. Caffino, E.V. Efimova, S. Espinoza, T.D. Sotnikova, L. Cervo, F. Fumagalli, R.R. Gainetdinov // Pharmacol Res. — 2016. — Vol. 103. — P. 206–214.
28. Sukhanov, I. Trace Amine-Associated Receptor 1 Modulates the Locomotor and Sensitization Effects of Nicotine [Text] / I. Sukhanov, M. Dorofeikova, A. Dolgorukova, A. Dorotenko, R.R. Gainetdinov // Frontiers Pharmacology. — 2018, — A. 9:329.
29. Wolf M.E., Mosnaim A.D. Phenylethylamine in neuropsychiatric disorders // Gen Pharmacol. – 1983. – Vol. 14, № 4. P. 385–390.

## **5 ПРИЛОЖЕНИЯ**

### **5.1 ПРИЛОЖЕНИЕ 1**

**Федеральное государственное бюджетное образовательное учреждение  
высшего образования  
«Санкт-Петербургский государственный университет»**

**Этический комитет в области  
исследований на животных  
СПбГУ**

**Заключение № 131-03-4 от 11 октября 2022 г.**

**на рассмотрение исследовательского проекта Ефимовой Евгении  
Викторовны «Изучение действия агонистов TAAR1 рецепторов на животных  
моделях психических заболеваний».**

Планируемый проект «Изучение действия агонистов TAAR1 рецепторов на животных моделях психических заболеваний» соответствует современным международным и национальным нормам этичного проведения исследований с использованием животных. Этический комитет в области исследований на животных СПбГУ одобряет проведение исследования в заявленные в проекте сроки (октябрь 2022 – август 2023).

Председатель

Г.О.Черепанов

Ответственный секретарь

Е.А.Вейхер

**Федеральное государственное бюджетное образовательное учреждение  
высшего образования  
«Санкт-Петербургский государственный университет»**

**Этический комитет в области  
исследований на животных  
СПбГУ**

**Заключение № 131-03-3 от 13 марта 2024 г.**

**на рассмотрение исследовательского проекта Гайнетдинова Рауля  
Радиковича «Разработка инновационных лекарственных средств на  
основе TAAR рецепторов следовых аминов».**

Планируемый проект «Разработка инновационных лекарственных средств на основе TAAR рецепторов следовых аминов» соответствует современным международным и национальным нормам этичного проведения исследований с использованием животных. Этический комитет в области исследований на животных СПбГУ одобряет проведение исследования в планируемые сроки (март 2024 – декабрь 2024 г.).

Председатель

Г.О. Черепанов

Ответственный секретарь

Е.А. Вейхер